

تقدير نموذج ARMA الدوري (PARMA) مع نموذج  
GARCH الدوري المختلط (M-PGARCH) بالتطبيق على  
بيانات سعر صرف الجنية المصري مقابل الدولار الأمريكي

أ.د. مرفت طلعت المحلاوي

استاذ الاحصاء التطبيقي  
كلية التجارة - جامعة دمياط

أ.م.د. أمال السيد مبارك

استاذ الاحصاء التطبيقي المساعد  
كلية التجارة - جامعة دمياط

أ.م.د. محمد ابراهيم محمد أحمد

أستاذ الاحصاء الرياضي المساعد  
كلية التجارة - جامعة دمياط

طارق يحيى يوسف العربانى

مدرس مساعد - قسم الإحصاء التطبيقي  
كلية التجارة - جامعة دمياط

## المستخلص:

يهدف البحث الى بناء نموذج الانحدار الذاتي - المتوسط المتحرك الدوري Periodic Autoregressive Moving Average (PARMA) الامثل لنمذجة التقلبات الموسمية في الوسط والانحراف المعياري وهيكلا الارتباط، كما يهدف الى تقليل عدد معالم النموذج المقدر من خلال تقدير المعالم لنموذج PARMA باستخدام تحويلة فورير المتقطعة Discrete Fourier Transform . كذلك تهدف الدراسة الى بناء نموذج GARCH الدوري المختلط Mixture periodic (M-PGARCH) Generalized Autoregressive Conditionally Heteroscedastic لنمذجة التقلبات الدورية من اجل التقاط النمط الدوري في التباين والتغيرات المفاجئة للنظام والتفرطح والانحراف الزائد بالإضافة الى تحسين نموذج PGARCH عن طريق نمذجة  $h_t$  من عمليات التقلب الدورية على التوازي وذلك باستخدام نموذج M-PGARCH. كما يهدف البحث الى تحسين وصف البيانات المالية عن طريق استخدام نموذج PARMA مع نموذج M-PGARCH لالتقاط التقلبات الخطية وغير الخطية وفحص التقلبات الدورية للتباين المشروط وغير المشروط. وقد تم استخدام البيانات التاريخية الشهرية لسعر صرف الجنية المصري مقابل الدولار الامريكي لما لبيانات اسعار الصرف من اهمية كبيرة على الاقتصاد بشكل عام وكذلك لطبيعة تقلباتها الدورية والتي تمثل مشكلة يسعى البحث لحلها. وأشارت النتائج الى أن نموذج M-PGARCH قادر على التقاط التغيرات المفاجئة في التباين بشكل جيد وبشكل أكثر مرونة وأكثر اختزالاً parsimonious. وبالمقارنة بين استخدام نموذج PARMA فقط لوصف البيانات وبين استخدام نموذج PARMA مع نموذج M-PGARCH نلاحظ أن نموذج PARMA كان ينقصه الوصف الدقيق للتغيرات الدورية في البواقي والتي لم تكن ساكنة، خاصة مع البيانات المالية. ان استخدام نموذج M-PGARCH مع نموذج PARMA يمنحه ميزة اضافية وهي القدرة على التقاط تلك التغيرات والتقلبات الدورية في البواقي وهذا ما استطاع نموذج M-PGARCH تطبيقه بشكل جيد وكذلك وصف الخليط الدوري لتلك التقلبات بشكل دقيق مما يسمح لنا بفهم أعمق لطبيعة البيانات المالية المستهدفة.

الكلمات المفتاحية:

الانحدار الذاتي - المتوسط المتحرك الدوري، PARMA، تحويلة فورير المتقطعة، خوارزمية تعظيم التقدير، الانحدار الذاتي الدوري المعمم المشروط بعدم تجانس التباينات، PGARCH، خليط GARCH الدوري، M-PGARCH.

**Estimation of the periodic ARMA model (PARMA) with the mixture  
periodic GARCH model (M-PGARCH) using data of the Egyptian  
pound exchange rate against the US dollar**

**Amaal El Sayed  
Mubarak**  
*Associate Professor  
of Applied Statistics  
Faculty of Commerce  
- Damietta University*

**Mervat Talaat El  
Mahalawy**  
*Professor of Applied  
Statistics  
Faculty of Commerce  
- Damietta University*

**Tarek Yehia  
Yousef Elorbany**  
*Assistant Lecturer  
Faculty of Commerce  
- Damietta University*

**Mohamed Ibrahim  
Mohamed Ahmed**  
*Associate Professor of  
Mathematical Statistics  
Faculty of Commerce -  
Damietta University*

**Abstract:**

The research aims to build the optimal Periodic Autoregressive-Moving Average (PARMA) model to model seasonal variations in the mean, standard deviation, correlation structure, model order determination, and parameter estimation of the PARMA model using the Discrete Fourier Transform to reduce the number of parameters in the estimated model. As well as developing the Mixture Periodic GARCH (M-PGARCH) model to capture the periodic variance, sudden changes in the system, kurtosis, and skew, and improving the PGARCH model by modelling  $k$  of periodic fluctuations in parallel using the M-PGARCH model, and improving the description of financial data using the PARMA model with the M-PGARCH model to capture linear and nonlinear fluctuations and examine the periodic fluctuations of conditions, Monthly historical data of the exchange rate of the Egyptian pound against the US dollar has been used because of the great importance of exchange rate data on the economy in general as well as the periodic fluctuations of the data, which represent a problem that the search seeks to solve. The results indicated that the M-PGARCH model can capture the phenomenon of sudden changes in variance very well, more flexibly and more parsimoniously, as there are a lot of estimated parameters whose value goes to zero. Comparing the use of the PARMA model only to describe the data with the use of the PARMA model with the M-PGARCH model, we note that the PARMA model needed an accurate description of the periodic changes in the residuals that were not well stationary, especially with the financial data, and hence the use of the M-PGARCH model with the PARMA model gives it the extra advantage of being able to capture those changes and periodic fluctuations in the residuals, and this is what the M-PGARCH model was able to apply well as well as describe the periodic mixture of those fluctuations accurately, which allows us a deeper understanding of the type of the target financial statements.

**Keywords:** PARMA, Periodic Autoregressive Moving Average, PGARCH, Periodic Generalized Autoregressive Conditionally Heteroscedastic, Expectation Maximization Algorithm, EM Algorithm, Discrete Fourier Transform, DFT, M-PGARCH, Mixture periodic Generalized Autoregressive Conditionally Heteroscedastic.

## 1- المقدمة

تعد تحركات أسعار الصرف مقابل الدولار الأمريكي عاملاً مهماً في تشكيل التوقعات في أسواق المال والاقتصاد حيث يتم تسعير حصة كبيرة من الائتمان والتجارة والديون بالدولار. وعادة ما ترتبط التقلبات المفاجئة في أسعار الصرف في الأسواق الناشئة بتدفقات رأس المال الخارجة، وتشديد شروط التمويل، وزيادة عدم الاستقرار المالي. وقد ساهمت السلاسل الزمنية بدور كبير في نمذجة الكثير من الظواهر الاقتصادية والمالية. حيث يوجد في الواقع العملي الكثير من نماذج السلاسل الزمنية التي يمكنها تحليل ذلك النوع من البيانات، مثل نماذج الانحدار الذاتي والمتوسطات المتحركة التكاملية (ARIMA) ونماذج الانحدار الذاتي والمتوسطات المتحركة التكاملية الموسمية (SARIMA) كما في (Hamilton (1994) ونماذج السلاسل الزمنية الدورية PARMA كما في (Franses and Paap (2004). وتسمح نماذج PARMA لمعالم ARMA بالتغير وذلك بتغير الموسم، كما ان نماذج PARMA تصف بوضوح التقلبات الموسمية في الوسط والانحراف المعياري وكذلك في هيكل الارتباط الذاتي، وبناء على ذلك فانها تكون مفيدة في توليد نماذج أكثر مصداقية. وظهرت نماذج PARMA في (Gladyshev (1961) and Jones and Brelsford (1967). كما لقي كتاب (Franses and Paap (2004) نظرة عامة على تلك العائلة من النماذج بشكل جيد، وقد تم تطوير تطبيقات على بيانات تدفقات الأنهار في كتاب Hipel and McLeod (1994). كما تناولت الكثير من التطبيقات العملية نموذج PARMA بالدراسة كما في (McLeod (1994) and Bowers et al. (2012) and Anderson et al. (2007)، وذلك بالتطبيق على بيانات التدفقات النهريّة أو البيانات المالية أو ما شابهها من بيانات حيث تظهر هذه البيانات عادة تغيرات موسمية في المتوسط والانحراف المعياري وهيكل الارتباط الذاتي، وهذا ما يجعل نماذج PARMA هي الأنسب للتعامل من تلك البيانات. وكما هو معلوم في التحليل القياسي التقليدي أن تباين حد الخطأ العشوائي يفترض أن يكون ثابتاً عبر الزمن وهو ما يعرف بفرضية ثبات التباين (homoscedasticity assumption)، ولكن في البيانات المالية والاقتصادية غالباً لا يتحقق هذا الشرط حيث تظهر التقلبات وكذلك إختلافات التباين خلال فترات السلسلة المختلفة. وتعرف فترات التقلب في العرف المالي بفترات المخاطرة أو عدم التأكد، ومعروف في التحليل المالي أن فترات المخاطرة (وهي التقلب الكبير أو التباين الكبير) تتركز في فترات معينة ويعقبها فترات أقل تقلباً (أقل تباين) و هي كذلك تتركز في فترات معينة، وهذه الأنماط تعرف لدى المحللين الماليين بفترات الرواج (wild) وفترات الركود (calm) وعلى ذلك فإن تحقق فرضية ثبات التباين في الغالب تكون

غير متحققة. وبالتالي فإنه من الأفضل في هذه الحالة فحص نمط هذا التقلب في تباين البواقي لمعرفة هل هذا التباين يعتمد على سلوكه التاريخي أو الزمني، أي فحص التباين المشروط (conditional variance) لبواقي النموذج تحت الدراسة.

وكان أول من قدم هذه الفكرة (Engl(1982 في بحثه حول تقدير تباين التضخم في المملكة المتحدة وقد أدى هذا النوع من النمذجة إلى تحول كبير وظهرت نماذج مختلفة في هذا الإطار منها نموذج (Generalized Autoregressive Conditionally Heteroscedastic)) واختصاره (GARCH). وقد تم إقتراح العديد من الامتدادات لنمذجة التغيرات في التباين أو التقلب بشكل عام (وتباين بواقي السلسلة بشكل خاص)، من أجل وصف سلسلة البيانات المالية بشكل حقيقي ووصف التغيرات المفاجئة في النظام وكذلك وصف التفرطح الزائد وعدم التماثل ودورية التباين العشوائي الشرطي. إلا أن معظم الصيغ المقترحة تتعامل مع معالم التقلب الثابتة وبالتالي لا يمكنها تفسير سلوك السلسلة الزمنية التي تعرض تقلب له ارتباط دوري، حيث لا يمكن حسابه باستخدام نماذج الخلط ذات المعالم الثابتة (غير المرنة)، كما أن الكثير من الدراسات أظهرت أن معظم عوائد الأصول وأسعار الصرف تُظهر أنماط موسمية سواء كانت في شكل يومي أو إسبوعي أو شهري أو سنوي أو حتى تأثيرات العطلات الرسمية. وقد أدت هذه الملاحظات إلى تطوير بعض نماذج الخلط التي تتضمن خاصية الدورية، ومنها (Bentarzi and Hamdi (2008a,b) حيث تم عرض نموذج "MPARCH" (Mixture Periodic ARCH) والذي يضيف الدورية إلى معالم النموذج حتى يمكن استيعاب الأنماط الديناميكية للتقلبات المشروطة بشكل كامل، وذلك عن طريق خلط عدد  $k$  من مكونات PARCH، وهذا يعني أن تكون رتب مكونات الخلط كبيرة جداً ويترتب عليه وقت أكبر لتقدير معالم النموذج. ولذلك فقد قدم (Hamdi and Souam (2017 فئة أخرى من نماذج السلاسل الزمنية غير الخطية وهي أكثر مرونة ومقننة أكثر بالمقارنة بنموذج MPARCH ألا وهي نماذج M-PGARCH.

ولقد تعددت الدراسات التي توظف السلاسل الزمنية الدورية لنمذجة مجموعات مختلفة من البيانات في مجالات الاقتصاد والهندسة الكهربية والبيانات المالية والمناخ والهيدرولوجيا وغيرها ومن الدراسات الهامة في هذا المجال، (Lund and Basawa (2000), Lund et al ) and Basawa and Lund (2001), (Ursue and Turkman (2012). ولقد كان من أوائل من قدم هذه النماذج الإحصائية كلاً من (Pagano (1978) و Troutman (1979) حيث قاما بفحص الخصائص الأساسية لعمليات الإنحدار الذاتي الدوري وحيد المتغير وأساليب الاستدلال الإحصائي لتقدير المعالم والتنبؤ وقدم (Meleod (1994

وصفاً كاملاً للمراحل الأساسية لبناء نماذج PAR وحيدة المتغير المتمثلة في مرحلة التحديد، التقدير، الفحص والتشخيص. كما تناول (Akgün 2003) تحديد التغير الدوري عن طريق تحديد رتب نماذج PARMA وحيدة المتغير حيث تم تحديد الرتب المختلفة لنماذج PARMA بتعميم الطرق المعروفة في أسلوب بوكس-جينكنز Box-Jenkins، وقد أخذ في الاعتبار تحديد كلاً من نماذج PARMA ونماذج PAR فقط وقد استخدم لتحديد النموذج الرسم البياني لدالة الارتباط الذاتي الدوري (PeACF) ودالة الارتباط الذاتي الدوري الجزئي (PePACF). ولتقدير النموذج استخدمت طريقة المربعات الصغرى الشريطية LSE والتي طبقت على نماذج PAR حيث أن التقدير يكون معقد جداً وصعب ونتيجة تكون غير مرضية عند إضافة عنصر المتوسط المتحرك MA إلى النموذج. كما قدم (Tesfaye 2005) دراسة استعرضت خطوات تحديد نموذج PARMA لتمثيل بيانات التدفق النهري. بينما تناول (Lund et al. 2006) دراسة أساليب تقدير نماذج السلاسل الزمنية الدورية ذات أقل عدد ممكن من المعالم Parsimonious PARMA "models" وذلك بالنسبة لبيانات درجات الحرارة اليومية في بعض الولايات الأمريكية. ونظراً لما تواجه نماذج PARMA من صعوبة كبيرة عند تقدير المعالم للبيانات عالية الدقة مثل البيانات الأسبوعية أو اليومية نظراً للعدد الكبير للمعالم، وللحصول على نماذج مختصرة المعالم "Parsimonious" اقترح (Tesfaye et al. 2010) استخدام تحويلة فوريير المتقطع discrete Fourier transform (DFT) لتمثيل معالم نموذج PARMA وأوضح النتائج أن النموذج المقترح خفض المعاملات من 24 إلى 8 مما يوفر نموذج أكثر تخفيض و أكثر دقة. كما أوضح (Francq et al. 2011) بعض من الخصائص التقريبية لمقدرات المربعات الصغرى المرجحة "Weighted Least Squares" (WLS) لنماذج PARMA مع أخطاء غير مترابطة ولكنها غير مستقلة حيث أوضحت الدراسة أن مقدرات WLS لنماذج PARMA تكون متسقة بقوة وتقريباً طبيعية. وامتدت الدراسة إلى ما ذكره (Basawa and Lund 2001) لتقدير المربعات الصغرى لنماذج PARMA مع أخطاء مستقلة ويتضح أن مصفوفة التغيرات التقريبية لمقدرات WLS التي تم الحصول عليها في ظل أخطاء غير مستقلة تختلف تماماً عن تلك التي تم الحصول عليها في ظل أخطاء مستقلة. كما قدمت الدراسة أمثلة للمحاكاة والتي أوضحت الأهمية العملية للنتائج كما تم التطبيق على بيانات مالية.

ولزيادة القدرة على تحديد رتب نماذج PARMA المناسبة بشكل أكثر دقة اقترح (Ursu and Turkman 2012) استخدام الخوارزميات الجينية بالاعتماد على معيار بيز للمعلومات BIC والذي يستخدم لتحديد رتب نموذج الانحدار الذاتي الدوري PAR. وتم مقارنة النموذج المقترح و المحدد باستخدام الخوارزميات الجينية GA مع نموذج PAR المحدد بالطريقة التقليدية والذي اقترحه

(McLeod 1994) و أثبتت الدراسة ان استخدام الخوارزمية الجينية GA يزيد من دقة النموذج. كما تم توضيح إجراءات التنبؤ لنماذج PARMA عن طريق (Anderson et al. 2013) حيث تم باستخدام خوارزمية الابتكار (innovations algorithm) جنباً الى جنب مع فكرة (Ansley 1979) تقديم صيغة تبين الخطأ التقريبي بحيث يمكن حساب فترات تنبؤ جاوس (Gaussian prediction intervals). كما اهتمت دراسة (Dudek et al. 2016) بتقدير معالم PARMA وكذلك تمثيل معالم PARMA الدورية باستخدام سلسلة فورير والتي تهدف الى تحقيق تخفيض كبير في عدد المعالم المقدره باستخدام تمثيل فورير وذلك عن طريق اعطاء العديد من معالم فورير قيمه صفريه. كما استخدم (Sarnaglia et al. 2021) مقدر M-regression لبناء مقدرات طيفية لنماذج السلاسل الزمنية كما تم توسيع هذا النهج عندما تتبع البيانات عمليات PARMA. حيث قدمت الدراسة مقداراً للمعالم بناءً على مقدر Whittle الكلاسيكي.

وكانت دراسة (Bollerslev and Ghysels 1996) قد اقترحت فئة جديدة من النماذج التي تتميز بعدم التجانس المشروط الدوري، والتي صُممت لتوصيف التغير الموسمي المتكرر للعزم الثاني. وترتبط هذه الفئة الجديدة من نماذج P-ARCH، بشكل مباشر بفئة نماذج (ARMA) للوسط. حيث أن العلاقة الضمنية بين هياكل نموذج ARCH الدوري (P-ARCH) وعمليات GARCH ذات الثبات الموسمي الضعيف توثق كيف قد ينتج عن إهمال الدورية في عملية (PARCH) ARCH خسارة في كفاءة التنبؤ. وقامت الدراسة بتحديد أهمية وحجم هذه الخسارة لمجموعة متنوعة من دوال الخسارة من خلال استخدام أساليب محاكاة مونتني كارلو. كما قدم (Shao 2006) نماذج خطط الانحدار الذاتي الدوري "mixture periodic AR" لملائمة نماذج السلاسل الزمنية فقد عرضت الدراسة شروط السكون لمثل تلك السلاسل كما ناقشت تطبيق خوارزمية "Expectation Maximization" EM. كما كان الهدف الرئيسي لـ (Bentarzi and Hamdi 2008) هو عمل امتداد لنموذج ARCH وذلك باستخدام نموذج Mixture Periodically Correlated ARCH (MPARCH) ، و كان الهدف الرئيسي وراء هذا الامتداد هو جعل النموذج متسقاً عند التفرطح العالي والقيم والأحداث المتطرفة، وفي نفس الوقت قادر على التقاط خاصية الدورية التي تظهر في هيكل الارتباط الذاتي، كما قدمت الدراسة ملائمة لنماذج MPARCH على مجموعة بيانات حقيقية و قد دعمت الدراسة التطبيقية النموذج المقدم. بينما اقترح (Hamdi and Souam 2013) امتداد لنموذج دمج ARCH الدوري (MPARCH) ليصبح لنموذج دمج GARCH الدوري (MPGARCH) ، كما عرض هذا البحث بعض الخصائص الاحتمالية لهذه الفئة

من النماذج. و لقد اقترحت الدراسة طريقة تقدير تعتمد على خوارزمية تعظيم التوقع (EM) و لقد أوضحت نتائج التحليل التجريبي أن نموذج الخلط المقترح يعطي أفضل أداء بين النماذج المنافسة. وقد قدم Hamdi and Souam (2017) فئة أخرى من نماذج السلاسل الزمنية غير الخطية وهي أكثر مرونة ومقننه أكثر بالمقارنة بنموذج M-PARCH التي قدمت عام 2013 ألا وهي نماذج M-PGARCH . مما يسمح بتوصيف التغير الدوري وقد أوضحت الدراسة أن هذه النماذج تتسم بمرونة وكفاءة أكثر مقارنة مع نماذج M-PARCH ذات الرتب الاعلى. وأشارت النتائج التجريبية إلى أن نموذج M-PGARCH يمكن أن يسجل بشكل جيد ظاهرة التغيرات الحادة في التقلبات.

مما سبق نجد أن استخدام نماذج السلاسل الزمنية المقترحة يمكن أن يساعد في رفع كفاءة التقدير و جعل النموذج أكثر دقة و أقل في عدد المعالم مما يمكننا من مواجهة صعوبات مرحلة تحديد الرتبة و تقدير المعالم نظراً للعدد الكبير لمعالم نموذج PARMA. وقد تم تنظيم الأقسام التالية من البحث على النحو التالي،

القسم الثاني يتناول تحديد الرتب وتقدير نموذج PARMA أما القسم الثالث فنستعرض فيه تمثيل معالم PARMA باستخدام تحويلة فورية المتقطعة DFT بينما يتناول القسم الرابع تقدير نموذج GARCH الدوري المختلط لبواقي نموذج PARMA المقدر وأخيراً يعرض القسم الخامس التطبيق.

## 2- تحديد الرتب وتقدير نموذج PARMA

يمكن تعريف نماذج PARMA من وجهتي نظر مختلفتين:

من وجهة النظر الأولى تُعتبر نماذج PARMA هي امتدادات دورية لنماذج ARMA غير الموسمية، بمعنى آخر يتكون نموذج PARMA من نموذج ARMA منفصل لكل موسم. وجهة النظر الثانية لتعريف نماذج PARMA هو اعتبارها نوع خاص من نماذج ARMA متعددة المتغيرات. حيث أوصى (Franses and Paap (2004 بأن التمثيل متعدد المتغيرات يكون مفيد للغاية لتحليل خصائص الاستقرار للنموذج و انه يمكن كتابة نماذج PARMA في صيغة نماذج ARMA متعددة.



## 2-1- التمثيل وحيد المتغير لنموذج PARMA

### Univariate Representation of PARMA model

يتكون نموذج PARMA من نماذج ARMA منفصلة لكل موسم، بافتراض أن السلسلة الزمنية وحيدة

المتغير هي  $y_t$  والتي تُشاهد خلال  $N$  من السنوات، حيث أن  $t = 1, 2, \dots, NS$ ،

ويمكن كتابة نموذج الانحدار الذاتي-المتوسطات المتحركة الدورية ذو الرتبة  $P, q, S$ ،

$(P(S), q(S))$  كما يلي :

$$y_t = \mu_v + \phi_1(v)y_{t-1} + \dots + \phi_{p(v)}(v)y_{t-p(v)} + \varepsilon_t + \theta_1(v)\varepsilon_{t-1} + \dots + \theta_{q(v)}(v)\varepsilon_{t-q(v)} \quad (1)$$

أو يمكن عرض النموذج بالصورة التالية :

$$\phi_k(v)[L] y_t = \mu_v + \theta_k(v)[L]\varepsilon_t \quad (2)$$

حيث أن

$$\phi_k(v)[L] = 1 - \phi_1(v)[L] - \dots - \phi_{p(v)}(v)[L^{p(v)}],$$

$$\theta_h(v)[L] = 1 + \theta_1(v)[L] + \dots + \theta_{q(v)}(v)[L^{q(v)}]$$

وتعرف  $\mu_v$  بأنها معلمة تتفاوت وتتغير موسمياً. كما تمثل  $[\phi_1(v), \dots, \phi_{p(v)}(v)]$  و

$[\theta_1(v), \dots, \theta_{q(v)}(v)]$  معالم الانحدار الذاتي والمتوسطات المتحركة ذات الرتبة  $k$  و  $h$  على الترتيب،

حيث أن  $h = 1, 2, \dots, q(v)$ ،  $k = 1, 2, \dots, p(v)$ ، والتي يمكن أن تختلف خلال الموسم  $v$ ،

حيث ان  $v = 1, 2, \dots, S$ . كما أن السلسلة  $\varepsilon_t$  تعتبر عملية عشوائية بحتة دورية *periodic white*

*noise (PWN)*،  $\varepsilon_t \sim PWN(0, \sigma_v^2)$ . ويمكن لرتب الانحدار الذاتي  $p(v)$  والمتوسط المتحرك

$q(v)$  في النموذج (1) أن تختلف باختلاف الموسم  $v$  ومع ذلك فإنه من الناحية النظرية والرياضية يمكن

التعويض عن رتب الانحدار الذاتي  $p(v)$  والمتوسط المتحرك  $q(v)$  بعدد ثابت خلال الموسم  $v$  ولن يكون

هناك أي خلل في النموذج بشكل عام وذلك من خلال اعتبار أن:

$$p = \max_{v=1, \dots, S} p(v)$$

$$q = \max_{v=1, \dots, S} q(v)$$

وبالتالي فإنه قد نجد في بعض المواسم أن معالم AR و MA يمكن أن تأخذ قيمة صفرية،

حيث  $\phi_k(v) = 0$  حيث  $p(v) < k \leq p$ ،  $\theta_k(v) = 0$  حيث  $q(v) < k \leq q$  (Lund and

.Basawa, 2000).

ويمكن القول بأن السلسلة الزمنية  $\{Y_t\}$  ذات ارتباط دوري إذا كان وسطها الحسابي  $\mu_t$  وذالة تغايرها الذاتي  $\gamma(t_1, t_2)$  لهم قيم منتهية خلال الفترة  $u$  والتي تكون عدد صحيح موجب، ويمكن القول أن  $\mu_t$  و  $\gamma(t_1, t_2)$  معالم دورية خلال الفترة الدورية  $u$  إذا كان:

$$\mu_t = \mu_{t+u} \quad \text{و} \quad \gamma(t_1, t_2) = \gamma(t_1 + u, t_2 + u), \quad \forall \quad t, t_1, t_2 \in \mathbb{Z}$$

ومن الآن فصاعد سنفترض أن  $\mu_t = 0$  لأي سلسلة دورية، دون أن فقد خاصية التعميم. وبافتراض أن  $\{Y_t, t \in \mathbb{N}\}$  هي سلسلة زمنية ذات ارتباط دوري فإنه يمكن التعويض عن الدليل الزمني  $t$  في الشكل التالي  $t = nS + v$ ، حيث أن  $n$  تمثل السنة و تأخذ القيم  $n = 0, 1, \dots$  و  $v$  تمثل عدد المواسم و تأخذ القيم التالية  $v = 1, \dots, S$ ، بمعنى آخر يمكن القول أنه لأي سلسلة زمنية  $Y_t$  يتم استبدال معلمة مؤشر الزمن  $t$  بـ  $ns + v$ ، حيث أن كتابة الدليل الزمني بالشكل التالي  $ns + v$  يعطى فهماً عملياً أكثر كما يلقى الضوء على دورية السلسلة، حيث يعطى تفصيلاً أوضح للمواسم والفترات الدورية، و بافتراض أن  $\{Y_{ns+v}\}$  هي سلسلة زمنية دورية تكتب كما يلي:

$$Y_{ns+v} = \sum_{k=1}^{p(v)} \phi_k(v) Y_{ns+v-k} + \varepsilon_{ns+v} + \sum_{k=1}^{q(v)} \theta_k(v) \varepsilon_{ns+v-k} \quad (3)$$

كما يمكن كتابة المعادلة (3) بالشكل التالي:

$$Y_{ns+v} = \phi_1(v) Y_{ns+v-1} + \dots + \phi_{p(v)}(v) Y_{ns+v-p(v)} + \varepsilon_{ns+v} + \theta_1(v) \varepsilon_{ns+v-1} + \dots + \theta_{p(v)}(v) \varepsilon_{ns+v-p(v)}$$

ويكون النموذج الناتج في المعادلة السابقة مفيد في نمذجة بيانات السلاسل الزمنية المختلفة المستمدة من علم الاقتصاد والمناخ والهيدرولوجيا والهندسة الكهربائية وغيرها. حيث ان  $v = 1, \dots, S$ ، اما المتغير العشوائي  $Y_{ns+v}$  يمثل قيم المتغير خلال الموسم  $v$  في السنة  $n$  ( $n \in \mathbb{Z}$ ). كما تمثل  $\phi_k(v)$  و  $\theta_k(v)$  معالم نموذج AR ونموذج MA على التوالي خلال الموسم  $v$ . بينما يعتبر حد الخطأ  $\varepsilon$  في النموذج (3) عملية عشوائية بحتة دورية periodic white noise حيث أن تباين الخطأ يكون أكبر من الصفر

$$\text{var}(\varepsilon_{ns+v}) = \sigma_\varepsilon^2(v) > 0, \quad E(\varepsilon_t) = 0$$

يمكن القول أن نموذج PARMA للسلسلة الزمنية  $Y_{ns+v}$  المعرفة في المعادلة (3) نموذج سببي أو دالة سببية لـ  $\varepsilon_{ns+v}$  إذا كان هناك للموسم  $v$ ،  $v = 1, 2, \dots, S$ ، المتسلسلات  $\{\psi_l(v)\}$  كما يلي:

$$Y_{ns+v} = \sum_{l=0}^{\infty} \psi_l(v) \varepsilon_{ns+v-l} \quad (4)$$

حيث  $\psi_l(v)$  تُعشر على أنها الأوزان الموسمية والتي تحقق الشرط:

$$\max_{1 \leq v \leq S} \sum_{l=1}^{\infty} |\psi_l(v)| < \infty, \quad \psi_0(v) = 1 \quad \text{لكل موسم } v$$

كما يمكن القول أن نموذج PARMA للسلسلة الزمنية  $Y_{ns+v}$  المعرفة في المعادلة (4) قابلة للانعكاس

invertible لكل موسم  $v$  اذا كانت السلسلة  $\pi_i(v)$  تعرف

$$\pi_i(v) = \pi_0(v) + \pi_1(v)[B] + \pi_2(v)[B^2] + \dots$$

حيث يكون،

$$\max_{1 \leq v \leq S} \sum_{i=1}^{\infty} |\pi_i(v)| < \infty , \quad v \text{ لكل موسم } , \quad \pi_0(v) = 1$$

و يكون

$$\varepsilon_{ns+v} = \sum_{i=0}^{\infty} \pi_i(v) Y_{ns+v-i}$$

## 2-2- التمثيل متعدد المتغيرات لنموذج PARMA

### Vector Representation of PARMA Model

بافتراض أن  $Y_t$  هي عملية ARMA ذات  $S$  - فترة دورية فإنه يمكن كتابة المعادلة (1) في شكل متجه

ذو  $S$  - متغير (S-variate) ، حيث تمثل  $S$  عدد المواسم في السنة.

$$\Phi_0 Y_n - \sum_{K=1}^P \Phi_K Y_{n-K} = \Theta_0 \varepsilon_n + \sum_{i=1}^Q \Theta_i \varepsilon_{n-i}$$

$$\Phi_0 Y_n - \Phi_1 Y_{n-1} - \dots - \Phi_P Y_{n-P} = \Theta_0 \varepsilon_n - \Theta_1 \varepsilon_{n-1} - \dots - \Theta_P \varepsilon_{n-Q}$$

أو

$$\Phi(L)Y_n = \Theta(L)\varepsilon_n \quad (5)$$

حيث

$$\Phi(L) = \Phi_0 - \Phi_1 L - \dots - \Phi_P L^P$$

$$\Theta(L) = \Theta_0 - \Theta_1 L - \dots - \Theta_Q L^Q$$

كما أن

$$\varepsilon_n = (\varepsilon_{ns+1}, \varepsilon_{ns+2}, \dots, \varepsilon_{ns+S})^T \text{ و } Y_n = (Y_{ns+1}, Y_{ns+2}, \dots, Y_{ns+S})^T$$

$$p = \dots , P = \left[ \frac{(p-1)}{S} + 1 \right] , n = 0, 1, \dots, N-1 , \text{ حيث أن } (S \times 1).$$

$$.q = \max_{v=1, \dots, S} q(v) , Q = \left[ \frac{(q-1)}{S} + 1 \right] , \text{ كما أن } \max_{v=1, \dots, S} p(v)$$

حيث أن  $\Phi_0$  هي مصفوفة  $(S \times S)$  مثلثة سفلى ذات قطر عناصره (الوحده) الواحد الصحيح كما يلي:

$$\Phi_0 = \begin{bmatrix} 1 & 0 & 0 & \dots & 0 & 0 \\ -\phi_1(2) & 1 & 0 & \dots & 0 & 0 \\ \vdots & \vdots & \ddots & \ddots & \vdots & \vdots \\ -\phi_{s-2}(s-1) & -\phi_{s-3}(s-1) & \dots & -\phi_1(s-1) & 1 & 0 \\ -\phi_{s-1}(s) & -\phi_{s-2}(s) & \dots & -\phi_2(s) & -\phi_1(s) & 1 \end{bmatrix} \quad (6)$$

حيث  $\Phi_k$  هي مصفوفة  $(S \times S)$  كما يلي:

$$\Phi_k = \begin{bmatrix} \phi_{kS}(1) & \phi_{kS-1}(1) & \dots & \phi_{kS-(s-2)}(1) & \phi_{kS-(s-1)}(1) \\ \phi_{kS+1}(2) & \phi_{kS}(2) & \dots & \phi_{kS-(s-3)}(2) & \phi_{kS-(s-2)}(2) \\ \vdots & \vdots & \ddots & \vdots & \vdots \\ \phi_{kS+(s-2)}(S-1) & \phi_{kS+(s-3)}(S-1) & \dots & \phi_{kS}(S-1) & \phi_{kS-[s-(s-1)]}(S-1) \\ \phi_{kS+(s-1)}(S) & \phi_{kS+(s-2)}(S) & \dots & \phi_{kS+s-(s-1)}(S) & \phi_{kS}(S) \end{bmatrix} \quad (7)$$

حيث  $T$  تمثل مقلوب المتجة.

كما أن  $\Theta_0$  هي مصفوفة  $(S \times S)$  مثلثية سفلى ذات قطر عناصره (الوحده) الواحد الصحيح كما يلي:

$$\Theta_0 = \begin{bmatrix} 1 & 0 & \dots & 0 & 0 & 0 \\ -\theta_1(2) & 1 & \dots & 0 & 0 & 0 \\ \vdots & \vdots & \ddots & \vdots & \vdots & \vdots \\ -\theta_{s-2}(S-1) & -\theta_{s-3}(S-1) & \dots & -\theta_1(S-1) & 1 & 0 \\ -\theta_{s-1}(S) & -\theta_{s-2}(S) & \dots & -\theta_2(S) & -\theta_1(S) & 1 \end{bmatrix} \quad (8)$$

حيث  $\Theta_i$  هي مصفوفة  $(S \times S)$  كما يلي:

$$\Theta_i = \begin{bmatrix} \theta_{iS}(1) & \theta_i(1) & \dots & \theta_{iS-(s-2)}(1) & \theta_{iS-(s-1)}(1) \\ \theta_{iS+1}(2) & \theta_{iS}(2) & \dots & \theta_{iS-(s-3)}(2) & \theta_{iS-(s-2)}(2) \\ \vdots & \vdots & \ddots & \vdots & \vdots \\ \theta_{iS+(s-2)}(S-1) & \theta_{iS+(s-3)}(S-1) & \dots & \theta_{iS}(S-1) & \theta_{iS-[s-(s-1)]}(S-1) \\ \theta_{iS+(s-1)}(S) & \theta_{iS+(s-2)}(S) & \dots & \theta_{iS+s-(s-1)}(S) & \theta_{iS}(S) \end{bmatrix} \quad (9)$$

### 2-3- تقدير معالم نموذج PARMA

تعتبر مرحلة تقدير المعالم هي المرحلة الثانية من مراحل بناء النموذج والتي يمكن أن تستخدم

نتائجها في تحسين تحديد النموذج والتحقق من إختيار النموذج. وبالنظر الى طرق التقدير التي يمكن ان

تستخدم في تحليل السلاسل الزمنية فان أكثر هذه الطرق شيوعا هي طريقة العزوم (method of

moment)، طريقة تقدير المربعات الصغرى (least squares estimation) وطريقة تقدير الإمكان

الأكبر (maximum likelihood estimation). وقد قارن Smadi (1994) نظرياً بين هذه الطرق

الثلاث، طريقة العزوم، طريقة LS الشرطية وطريقة ML الشرطية، عن طريقة دراسة محاكاة لثلاث نماذج

PAR مختلفة. وأظهرت المقارنة أن كل الأساليب تنتج تقديرات قريبة من القيم الفعلية للمعالم فوجد أن كلاً من تقديرات LS الشرطية و ML الشرطية للمعالم هي نفسها وأيضاً مطابقة لتقديرات العزوم بإستثناء بعض المواسم الأولية التي كان بها بعض المشاهدات المفقودة. كما استنتج (1994) Smadi في نهاية الدراسة أن تقديرات LS الشرطية تكون متفوقة على تقديرات العزوم من حيث التحيز ومربع متوسط الخطأ وذلك عند التعامل مع نموذج PAR. ولكن بإضافة جزء المتوسط المتحرك MA الى النموذج الدوري اى عند تقدير معالم نموذج PARMA فان طريقة العزوم باستخدام Yule-Walker equations تكون غير ملائمة. حيث يكون استخدام تقدير الامكان الاكبر "Maximum Likelihood Estimation" MLE في هذه الحالة أكثر ملائمة. وفيما يلي نستعرض خوارزمية تقدير الإمكان الأكبر التقريبية

استخدم (1979) Hillmer and Tiao تقنية ناجحة من أجل تحديد الاحتمال التقريبي لعملية

ARMA المتعددة. حيث يتم فى البداية يتم اجراء عملية تحويل  $y$  الى  $w$  على النحو التالى:

$$w_{p+j} = y_{p+j} - \sum_{k=1}^p \phi_k(p+j) y_{p+j-k} \quad (10)$$

وذلك عند  $j = 1, 2, \dots, NS - p$  وعند  $w_p = [w_{p+1}, w_{p+2}, \dots, w_{NS}]'$  ويكون التحويل من  $y_p$  الى  $w_p$  هو "unit Jacobian" ولذلك فان احتمال  $w_p$  يكافئ احتمال  $y_p$  الذي يعطى عن طريق  $y_1, y_2, \dots, y_p$ ، كما أن  $w_p$  تتبع عملية PMA(q) والتي تبدأ عند الزمن  $p + 1$  وتنتهي عند  $NS$ . وبالتالي وبالاعتماد على الاحتمال الدقيق عند  $p=0$  فانه يمكن ايجاد ضعف لوغاريتم دالة الامكان السالبة "negative log-likelihood" وذلك للسلسلة  $w_p$  بالمعادلة التالية،

$$-2 \ln [L(\phi, \theta, \sigma | w_p)] = NS \ln(2\pi) + \ln |D_{p+1-q, NS}| + \ln |A_{\theta, p}| \quad (11)$$

$$+ \hat{\epsilon}'_* D_{p+1-q, p}^{-1} \hat{\epsilon}_* + \hat{\epsilon}'_p D_{p+1, NS}^{-1} \hat{\epsilon}_p$$

حيث إن،

$$D_{i,j} = \text{diag}\{\sigma^2(i), \sigma^2(i+1), \dots, \sigma^2(j)\},$$

$$A_{\theta, m} = D_{m+1-q, m}^{-1} + F'_{\theta, m} D_{m+1, NS}^{-1} F_{\theta, m}$$

$$F_{\theta, m} = -L_{\theta, m}^{-1} M_{\theta, m}$$

$$\hat{\epsilon}_* = E(\epsilon_* | y_m), \quad \hat{\epsilon}_m = E(\epsilon_m | y_m).$$

وعند

$$\hat{\epsilon}_* = [\hat{\epsilon}_{p+1-q}, \hat{\epsilon}_{p+2-q}, \dots, \hat{\epsilon}_p]' = A_{\theta, p}^{-1} F'_{\theta, p} D_{p+1, NS}^{-1} L_{\theta, p}^{-1} w_p \quad (12)$$

ويكون،

$$\hat{\varepsilon}_{p+j} = w_{p+j} + \sum_{k=1}^q \theta_k (p+j) \hat{\varepsilon}_{p+j-k}, \quad (13)$$

عند  $j = 1, 2, \dots, NS - p$

ونحصل على تقدير المعالم  $\sigma, \theta, \phi$  عن طريق تدنية المعادلة (11) ذلك لانه عندما تكون  $p > 0$  فان الاحتمال يعتمد على السلسلة  $y_{p+1}, y_{p+2}, \dots, y_{NS}$  وذلك بالاعتماد على السلسلة  $y_1, y_2, \dots, y_p$  ويكون من السهل عند  $p = 0$  اثبات ان تدنيه المعادلة (11) يتوافق مع تقدير المربعات الصغرى وهو يعادل تقريبا تقدير يول وكير yule-walker ولكن الموسمى (Pagano, 1978). وعند افتراض أن  $q > 0$  فان التدنية المباشرة للمعادلة (11) عن طريق التفاضل تكون غير ممكنه ومن ثم يمكن استخدام نمط التحسين غير الخطى لتدنيه المعادلة (11). وقد اوضح Vecchia (1985a,b) ان تلك الخوارزمية تتطلب وقتا اقل بكثير للحساب وتمتلك كذلك خصائص تقارب أفضل من التدنية المباشر للمعادلة (11) بالإضافة الى الحصول على تقديرات جيدة. ولحساب تقديرات التباين للبقاوى يمكن تعريف  $K_1, K_2$  على أن كل منهما يمثل أكبر عدد صحيح يحقق الشروط:  $K_1 S < p + 1 - q$

$$.K_2 S < p + 1 + S$$

وتتلخص خطوات خوارزمية تقدير الامكان الاكبر التقريبية فيما يلى:

1- استخدام تقديرات اولية  $\hat{\theta}_0, \hat{\phi}_0$  للمعالم  $\theta, \phi$ .

2- افتراض أن  $\varepsilon_j = 0$  عند  $p + 1 - q \leq j \leq p$  وحساب قيمة  $\varepsilon_j$  عند  $p + 1 \leq j \leq$

$NS$  باستخدام المعادلة (13)

3- حساب تقديرات التباين للبقاوى،

$$\hat{\sigma}^2(i) = (N - K_2)^{-1} \sum_{n=1}^{N-K_2} \hat{\varepsilon}_{K_1 S + i + (n-1)S}^2,$$

حيث أن  $\varepsilon = 0$  عند  $K_1 S \leq j \leq p - q$ .

4- استخدام نمط التحسين لاجداد قيم المعالم  $\hat{\theta}, \hat{\phi}$  التى تعمل على تدنية قيمة

$\{ -2 \ln [L(\hat{\phi}, \hat{\theta}, \hat{\sigma} | w_p)] \}$  فى المعادلة (12) بالنسبة للمعالم  $\theta, \phi$  وذلك عند  $\hat{\sigma}$

$[\hat{\sigma}^2(1), \dots, \hat{\sigma}^2(S)]'$ .

5- حساب تحديثات التقديرات للبقاوى  $\varepsilon_j$  حيث أن  $p + 1 - q \leq j \leq NS$  باستخدام

المعادلة (12) و المعادلة (13) عند  $\sigma = \hat{\sigma}, \theta = \hat{\theta}$  و  $\phi = \hat{\phi}$ .

6- إعادة الخطوة من 3 الى 5 حتى يحدث التقارب النهائي.

### 3- تمثيل معالم PARMA باستخدام تحويلة فورية المتقطعة DFT

للحصول على نموذج PARMA فان ذلك يتطلب تقدير عدد كبير من المعالم مما يجعل التقدير صعباً حسابياً. ويكون من الافضل استغلال الهيكل الدوري للنموذج من أجل تقليل عدد المعالم. حيث يعتبر تقدير يول ووالكر "Yule-Walker" طريقة حسابية بسيطة و لكن عند تواجد المتوسطات المتحركة الدورية "PMA" فى النموذج فان طريقة يول ووالكر تكون غير كافية. ويمكن تقليل أبعاد مساحة البحث بشكل كبير عن طريق تحويل المعالم  $\phi$ ,  $\theta$  و عرضها فى شكل معالم فوريير  $a$ ,  $b$  والتي تظهر عند تمثيل معالم PARMA فى شكل تحويلة فوريير المتقطعة "Discrete Fourier Transform (DFT)" والتي قدمها Brelford (1967) كما يلي:

$$\begin{aligned} \phi_j(t) &= a_{j,1} + \sum_{n=1}^{\lfloor \frac{T}{2} \rfloor} a_{j,2n} \cos\left(\frac{2\pi n t}{T}\right) + \sum_{n=1}^{\lfloor \frac{T}{2} \rfloor} a_{j,2n+1} \sin\left(\frac{2\pi n t}{T}\right), \\ \theta_k(t) &= b_{k,1} + \sum_{n=1}^{\lfloor \frac{T}{2} \rfloor} b_{k,2n} \cos\left(\frac{2\pi n t}{T}\right) + \sum_{n=1}^{\lfloor \frac{T}{2} \rfloor} b_{k,2n+1} \sin\left(\frac{2\pi n t}{T}\right), \end{aligned} \quad (14)$$

كما انه يمكن حيث يمكن ايجاد قيم معالم فوريير  $a, b$  باستخدام تقديرات  $\phi, \theta$  كما يلي.

$$a_r = \begin{cases} v^{-1} \sum_{m=0}^{v-1} \cos\left(\frac{2\pi r m}{v}\right) \phi_m & (r = 0 \text{ or } \frac{v}{2}) \\ 2v^{-1} \sum_{m=0}^{v-1} \cos\left(\frac{2\pi r m}{v}\right) \phi_m & (v \text{ even}) \quad (r = 1, 2, \dots, \frac{v-1}{2}) \\ 2v^{-1} \sum_{m=0}^{v-1} \sin\left(\frac{2\pi r m}{v}\right) \phi_m & (v \text{ odd}) \quad (r = 1, 2, \dots, \frac{v-1}{2}) \end{cases} \quad (15)$$

$$b_r = \begin{cases} v^{-1} \sum_{m=0}^{v-1} \cos\left(\frac{2\pi r m}{v}\right) \theta_m & (r = 0 \text{ or } \frac{v}{2}) \\ 2v^{-1} \sum_{m=0}^{v-1} \cos\left(\frac{2\pi r m}{v}\right) \theta_m & (v \text{ even}) \quad (r = 1, 2, \dots, \frac{v-1}{2}) \\ 2v^{-1} \sum_{m=0}^{v-1} \sin\left(\frac{2\pi r m}{v}\right) \theta_m & (v \text{ odd}) \quad (r = 1, 2, \dots, \frac{v-1}{2}) \end{cases} \quad (16)$$

وذلك عند  $j = 1, 2, \dots, p$  و  $k = 0, 1, \dots, q$  و  $t = 0, 1, \dots, T - 1$ . حيث يمكن تقليل فضاء بحث المعالم من خلال خلق فضاءات فرعية من  $a, b$  عن طريق تقييد بعض أو معظم الترددات ( $\sin, \cos$ ) لتكون ذات سعة صفرية. ونظراً لأن تحويلة فوريير المتقطعة DFT للمعالم  $\phi, \theta$  الى  $A, B$  تكون خطية وقابلة للانعكاس فإن الفضاء الجزئي الخطي للمعالم  $a, b$  يتحول مرة أخرى الى فضاء جزئي خطي للمعالم  $\phi, \theta$ . ويتميز هذه الطريقة بتقليل وقت الحساب بالإضافة الى انتاج حلول وحيدة

“Unique Solution”.

في المرحلة الأخيرة يتم فحص وتشخيص النموذج المقدر من خلال التأكد من أن النموذج الذي تم بناءه يصف بشكل كافي السلسلة الزمنية قيد الدراسة وذلك بناءً على اختبارات احصائية والتي يشار اليها بفحوص التشخيص Diagnostic Checks (Hipel and McLeod, 1994). وأحد أهم طرق فحص وتشخيص النموذج هي تحليل البواقي للنموذج الملاءم وذلك لضمان الاستقلالية وأنها تتبع التوزيع الطبيعي “normality”. ومن أفضل المعايير التي يمكن الاستعانة بها هنا هو AIC و BIC والتي يمكن من خلالها اختيار أقل عدد معالم “parsimony” للنموذج الملاءم “fitted model”. ويتم حساب AIC و BIC باستخدام المعادلات التالية:

$$AIC^{(k)} = -2 \ln L(\hat{\phi}, \hat{\theta}) + 2k,$$

$$BIC^{(k)} = -2 \ln L(\hat{\phi}, \hat{\theta}) + 2k \log N.$$

حيث أن،  $k$ : يمثل اجمالي عدد المعالم لمجموعة المعالم  $\phi, \theta$  او في حالة تمثيل فوريير للمعالم

$A, B$ , و  $N$ : تمثل عدد العينات الخطية المستقلة

#### 4- تقدير نموذج GARCH الدوري المختلط لبواقي نموذج PARMA المقدر

يمكن القول إن  $\{y_t; t \in \mathbb{Z}\}$  هي عملية ذات سكون دورى تام strictly periodically stationary (s.p.s.) للفترة الدورية  $S$ ، إذا كانت توزيعاتها ذات الأبعاد المحدودة ثابتة لا تتغير في ظل الإزاحات الزمنية الدورية  $S$  وهذا يعنى أن المتجه  $(y_{t_1}, y_{t_2}, \dots, y_{t_k})$  و  $(y_{t_1+\tau S}, y_{t_2+\tau S}, \dots, y_{t_k+\tau S})$  يكون لهما نفس التوزيع الاحتمالي المشترك لكل  $k \geq 1$  و  $(\tau, t_1, \dots, t_k) \in \mathbb{Z}$ .

كما يمكن القول ان  $\{y_t; t \in \mathbb{Z}\}$  هي عملية ذات سكون دورى ضعيف (w.p.s.) weakly periodically stationary للفترة الدورية  $S$  إذا كان وسطها  $\mu_t = E(y_t)$  و دالة التغاير الذاتي لها



$\mu_t = \mu_{t+S}$  الوسط  $\gamma_h^{(t)} := cov(y_t, y_{t+h})$  تكون دورية عند الزمن  $t$  للفترة الدورية  $S$  حيث ان  $\forall \tau, h \in \mathbb{Z}$  والتغاير  $\gamma_h^{(t)} = \gamma_h^{(t+\tau S)}$  وذلك

وبافتراض أن  $x_t$  هي بواقى نموذج PARMA المقدر و ان  $Z_t$  هي سلسلة لها توزيع متماثل مستقل  $(i.i.d)$ ، بينما  $Z_t = (Z_t^{(1)}, \dots, Z_t^{(K)})$  هي متجهات أبعادها  $K$ ، وعناصر  $Z_t^{(K)}$  تساوى 1 إذا كانت المشاهدة  $x_t$  مشتقة من العنصر  $k^{th}$  لدالة الكثافة الشرطية و 0 فيما عدا ذلك. بينما تمثل معالم النموذج والتي تكون دورية عند الزمن  $t$  ويفترات دورية  $S$ . حيث أن المعالم،  $\alpha_{t,i}^{(k)}, \beta_{t,j}^{(k)}$  بينما  $\alpha_{t,i}^{(k)} \geq 0$  و  $\beta_{t,j}^{(k)} \geq 0$  عند أي  $i = 1, \dots, q_k, j = 1, \dots, p_k, k = 1, \dots, K$ . كما أن مجموع نسب الخليط يجب أن تساوى الواحد الصحيح أي أن  $\sum_{k=1}^K \lambda_k = 1$ ، في حين  $\lambda_k > 0$  لكل قيم  $k$ . وبالتالي فان نموذج GARCH الدوري المختلط للفترة الدورية  $S$ ، يمكن تعريفه من خلال المعادلة التالية: (Hamdi and Souam, 2017)

$$\begin{cases} x_t = \left( \sum_{k=1}^K h_t^{(k)} \mathbf{1}_{(Z_t^{(k)}=1)} \right)^{1/2} \xi_t, & t \in \mathbb{Z} \\ h_t^{(k)} = \alpha_{t,0}^{(k)} + \sum_{i=1}^{q_k} \alpha_{t,i}^{(k)} x_{t-i}^2 + \left[ \sum_{j=1}^{p_k} \beta_{t,j}^{(k)} \left( \sum_{l=1}^K \lambda_l h_{t-j}^{(l)} \right) \right], & k = 1, \dots, K \end{cases} \quad (17)$$

حيث أن  $\{\xi_t; t \in \mathbb{Z}\}$  ه سلسلة من المتغيرات العشوائية لها توزيع  $(i.i.d)$  بوسط حسابي صفري و تباين قيمته واحد، وكذلك  $\xi_t$  تكون مستقلة عن  $x_t$  لكل  $E > t$ . ويمكن اعتبار  $q_k$  و  $p_k$  ثوابت في  $K$  أي انه يمكن القول أن  $(p, q) = (\max p_k, \max q_k)$  أي أن المعالم  $\alpha_{t,i}^{(k)} = 0$  اذا كانت  $i > q_k$  وكذلك  $\beta_{t,j}^{(k)} = 0$  اذا كانت  $j > p_k$ ، كما تكون معالم النموذج دورية عند الزمن  $t$  خلال الموسم  $S$ ، حيث  $(\beta_{t,j}^{(k)} = \beta_{t+\tau S, j}^{(k)})$  و  $(\alpha_{t,i}^{(k)} = \alpha_{t+\tau S, i}^{(k)})$ ، حيث ان الزمن  $t$  يشير الى الفترة الدورية،  $t = nS + \nu$ ، حيث تشير  $\nu$  الى الموسم  $\nu = 1, 2, \dots, S$ ، خلال المدة الزمنية  $n$  والتي قد تكون سنوات اذا كانت المواسم شهور، كما يمكن كتابة معادلة (17) في الشكل التالي

$$\begin{cases} x_t = \left( \sum_{k=1}^K h_{ns+\nu}^{(k)} \mathbf{1}_{(Z_{ns+\nu}^{(k)}=1)} \right)^{1/2} \xi_{ns+\nu}, \\ h_{ns+\nu}^{(k)} = \alpha_{\nu,0}^{(k)} + \sum_{i=1}^{q_k} \alpha_{\nu,i}^{(k)} x_{ns+\nu-i}^2 + \sum_{j=1}^{p_k} \sum_{l=1}^K \lambda_l \beta_{\nu,j}^{(k)} h_{ns+\nu-j}^{(l)}, & k = 1, \dots, K \end{cases}$$

وتعد طريقة الإمكان الأكبر "Maximum Likelihood" (ML) هي احد اهم طرق التقدير فهي طريقة لتقدير كثافة مجموعة من البيانات عن طريق البحث عبر توزيعاتها الاحتمالية وكذلك معالمها. حيث تعد طريقة عامة و فعالة تقوم على أساسها العديد من خوارزميات التعلم الآلي، حيث يمكن الحصول على تقدير معالم النموذج من خلال تعظيم دالة الاحتمال الشرطي لمتغير الدراسة. وتكون طريقة الإمكان الأكبر معقده حسابيا وذلك عند وجود متغير من المتغيرات المتفاعلة أو ان سلسلة بيانات الدراسة غير كاملة ويعرف بالمتغير الكامن "Latent variable". وقد اقترح Dempster et al (1977) خوارزمية تعظيم التقدير EM "Expectation Maximization" التي تعد طريقة لتقدير الإمكان الأكبر في ظل وجود بيانات مفقودة او ما يعرف بالمتغير الكامن. (Hamid and Souam, 2018)

ويمكن تعريف خوارزمية EM على انها طريقة تكرارية "iteration approach" تدور بين مرحلتين: في المرحلة الأولى يتم تقدير المتغير الكامن (البيانات غير المشاهدة) بمعلومية البيانات المشاهدة و تسمى هذه المرحلة بمرحلة التقدير E-Step. حيث نحصل منها على البيانات المشاهدة وتقدير للبيانات الكامنة اي بيانات كاملة.

في المرحلة الثانية يتم تعظيم معالم النموذج في ظل البيانات الكاملة وكذلك تحسين تلك المعالم "optimum" وتسمى تلك المرحلة بمرحلة التعظيم M-Step. ويتكرر تلك المراحل نصل في النهاية الى التقارب الأمثل لتقدير معالم النموذج.

وبافتراض أن  $\underline{x} = (x_1, x_2, \dots, x_{NS}, Z_1, Z_2, \dots, Z_{NS})$  تمثل سلسلة من البيانات غير الكاملة (جزء مشاهد وجزء مفقود على الترتيب)، حيث  $Z = (Z_1, Z_2, \dots, Z_{NS})$  تمثل الجزء المفقود، حيث إن  $Z_t = (Z_t^{(1)}, Z_t^{(2)}, \dots, Z_t^{(K)})$  هو متجه ابعاده  $K \times 1$  وعناصره  $Z_t^{(k)}$  تكون قيمتها بواحد صحيح اذا كانت المشاهدة  $x_t$  ناتجة عن دالة التوزيع الشرطي ذات الرتبة  $k^{th}$ . وبافتراض أن  $\underline{\theta} = (\underline{\lambda}', \theta'_{1,1}, \dots, \theta'_{s,1}, \theta'_{1,2}, \dots, \theta'_{s,2}, \dots, \theta'_{1,K}, \dots, \theta'_{s,K})'$  المعلمة  $\theta_{s,k}$  و  $\underline{\lambda} = (\lambda_1, \dots, \lambda_{K-1})'$  وكذلك  $(\alpha_{s,0}^{(k)}, \alpha_{s,1}^{(k)}, \dots, \alpha_{s,q}^{(k)}, \beta_{s,1}^{(k)}, \dots, \beta_{s,p}^{(k)})'$  و  $r = \max(p, q)$  وبناء على البيانات المشاهدة  $\underline{x} = (x_1, x_2, \dots, x_{NS})$  فان دالة الإمكان المشروطة تكون:

$$\mathcal{L}(\underline{\theta}, \underline{x}) = C + \sum_{t=r+1}^{NS} \sum_{k=1}^K Z_t^{(k)} \left[ \ln(\lambda_k) - \frac{1}{2} \ln(h_t^{(k)}) - \frac{x_t^2}{2h_t^{(k)}} \right] \quad (18)$$

حيث أن،  $C = \frac{r+1-NS}{2} \ln(2)$ ، كما أنه بافتراض أن،  $t = s + \tau S$  عند  $s = 1, \dots, S$ ،  $\tau = 0, 1, \dots, N-1$ ،  $r+1 = s_0 + \tau_0 S$  for  $1 \leq s_0 \leq S$

$$\tau_0 = \begin{cases} \left\lfloor \frac{r+1}{S} \right\rfloor, & \text{if } s_0 \neq S, \\ \left\lfloor \frac{r+1}{S} \right\rfloor - 1, & \text{if } s_0 = S, \end{cases}$$

وبالتالي يمكن إعادة كتابة المعادلة (18) كما يلي:

$$\mathcal{L}(\underline{\theta}; \underline{x}) = C + \sum_{s=s_0}^S \sum_{k=1}^K Z_{s+\tau_0}^{(k)} \left[ \ln(\lambda_k) - \frac{1}{2} \ln(h_{s+\tau_0}^{(k)}) - \frac{x_{s+\tau_0}^2}{2 h_{s+\tau_0}^{(k)}} \right] \quad (19)$$

$$+ \sum_{s=1}^S \sum_{\tau=\tau_0+1}^{N-1} \sum_{k=1}^K Z_{s+\tau}^{(k)} \left[ \ln(\lambda_k) - \frac{1}{2} \ln(h_{s+\tau}^{(k)}) - \frac{x_{s+\tau}^2}{2 h_{s+\tau}^{(k)}} \right]$$

وفقا لطريقة EM يتم تقدير المعالم عن طريق تعظيم لوغاريتم دالة الإمكان في معادلة (18)، و في كل خطوة تكرارية "iteration" يكون هناك مرحلتين أساسيتين مرحلة التقدير E-Step ومرحلة التعظيم M-Step. وبافتراض أن البداية تكون عند الخطوة التكرارية "i + 1" فإنه يجب ان يتوافر تقدير المعالم  $\lambda_k^{(i)}$  و  $\theta_{s,k}^{(i)}$  أي تقدير للمعالم عند التكرار السابق "i" أو ما يعرف بالقيمة المبدئي لتلك المعالم "initial value"، ويتم في مرحلة التقدير Expectation حساب قيمة الدالة - Q والتي تتطلب تحديث التوزيع الشرطي لـ  $Z_t^{(k)}$  الذي يمثل المتغير الكامن،

$$p(Z_t^{(k)} | x_t, \underline{\theta}^{(i)}) = \frac{p(x_t | \underline{\theta}^{(i)}, Z_t^{(k)}) \cdot p(Z_t^{(k)})}{\sum_{k=1}^K p(x_t | \underline{\theta}^{(i)}, Z_t^{(k)}) \cdot p(Z_t^{(k)})}$$

ثم بعد ذلك حساب قيمة الدالة - Q، حيث أن

$$Q(\underline{\theta}; \underline{\theta}^{(i)}) = \mathbb{E}(\mathcal{L}(\underline{\theta}; \underline{x}) | x, \underline{\theta} = \underline{\theta}^{(i)})$$

بعد تحديث المعالم في مرحلة التعظيم M-step والحصول على  $\underline{\theta}^{(i+1)} = \text{argmax} Q(\underline{\theta}; \underline{\theta}^{(i)})$  يبدأ التكرار التالي "next iteration" بالاعتماد على المعلمة الجديدة  $\underline{\theta}^{(i+1)}$  التي تم تحديثها. وتستمر خوارزمية EM في العمل بهذه الطريقة الا ان تصل للتقارب اللازم لإنهاء الخوارزمية التكرارية.

وهناك عدة معايير لاختيار الرتب  $(p_k, q_k)$  المناسبة لمكونات نموذج M-PGARCH وكذلك

مكونات الخليط K. حيث قام كلا من Wong and Li (2001) و Bentarzi and Hamdi (2008a) بتقديم

مقياس المعلومات البايزي (Bayesian Information Criterion (BIC) لاطار الخليط لنماذج

Mixture ARCH و Mixture PARCH على الترتيب حيث تم استخدام تعظيم دالة كثافة الاحتمال

الشرطية للنموذج، كما تم ملاءمة هذا المعيار مع نموذج M-PGARCH بواسطة Hamid and

Souam (2018)، ويتم حساب معيار BIC كما يلي:

$$BIC = -2(NS - r)L^* + \log(NS - r) \left( K - 1 + S \left( \sum_{k=1}^K (p_k, q_k) + K \right) \right)$$

حيث إن

$$L^* = \frac{\sum_{t=r+1}^{NS} \log(f(x_t | \mathcal{F}_{t-1}))}{NS - r}$$

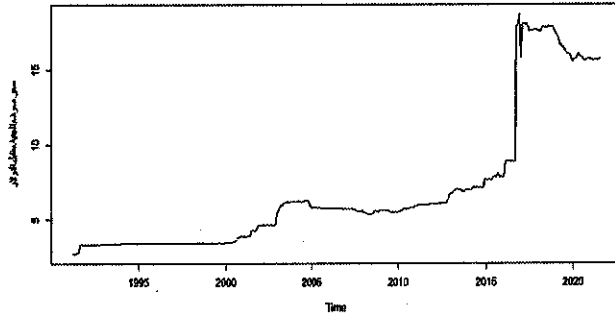
و  $f(x_t | \mathcal{F}_{t-1})$  هي دالة الاحتمال الشرطي لـ  $x_t$  بمعلومية المعلومات السابقة للزمن  $t$

## 5- التطبيق

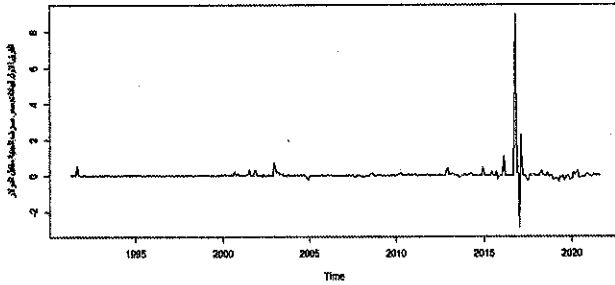
الهدف الأساسي من هذه الدراسة هو بناء نموذج PARMA الأفضل بالتطبيق على البيانات التاريخية لسعر صرف الجنية المصري مقابل الدولار الأمريكي فقد اقتصت هذه الدراسة بيانات سعر صرف الجنية المصري مقابل الدولار الأمريكي وذلك لما لها من أهمية كبيرة على الاقتصاد ويعتبر نموذج ARMA الدوري "PARMA" هو نموذج السلاسل الزمنية المناسب لتلك البيانات نظراً ان التغيرات في سعر صرف الجنية مقابل الدولار تعد تغيرات دورية بشكل كبير نتيجة للعوامل الاقتصادية والسياسية التي تؤثر على سعر الصرف وتتغير بشكل دوري تقريباً.

### 5-1- تحديد نموذج PARMA

في البداية يجب التأكد من سكون السلسلة من عدمه من حيث التباين والوسط الحسابي ولمعرفة ذلك يتم فحص الرسم البياني للسلسلة الزمنية لسعر صرف الجنية المصري مقابل الدولار الأمريكي. حيث ان البيانات التي استُخدمت في هذا البحث تتكون من سلسلة زمنية شهرية بواقع 364 مشاهدة شهرية ( $t=364$ ) والتي تمثل البيانات التاريخية لسعر صرف الجنية مقابل الدولار للفترة من ابريل 1991 وحتى اغسطس 2021.

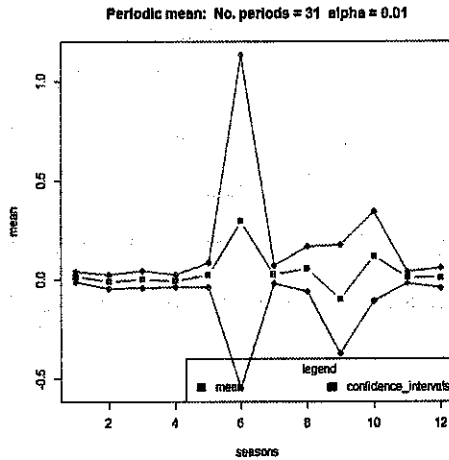


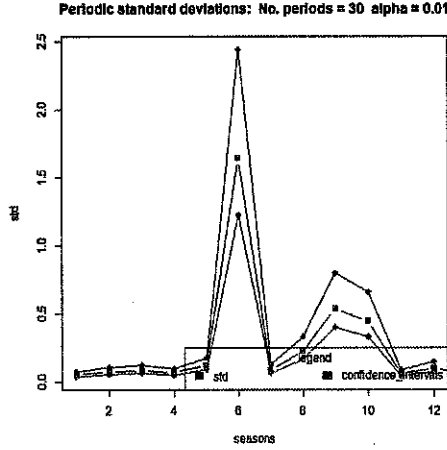
(a)



(b)

شكل (1) : حيث أن الشكل (a) يمثل الرسم البياني للسلسلة الزمنية لبيانات سعر الصرف بينما (b) سلسلة الفروق الاولى لبيانات سعر صرف الجنية المصري مقابل الدولار و يتضح من شكل (1, a) وجود اتجاه عام نحو الارتفاع وكذلك عدم ثبات التباين لذا لازالة الاتجاه العام وزيادة استقرار السلسلة يتم حساب الفروق العادية الاولى للسلسلة الزمنية لجعل الوسط الحسابي مستقر كما هو موضح في شكل (1, b)





شكل (2): الوسط الحسابى الدورى و الانحراف المعياري الدورى لسلسلة الفروق الاولى

و بالنظر للشكل (2) نجد أن السلسلة الزمنية لسعر الصرف قد استقرت تقريبا و لكن يبقى هناك انحراف ناتج عن تعويم الجنية الذى قامت به الحكومة المصرية كأحد اجراءات الاصلاح الاقتصادى و الذى حرك سعر صرف الجنية بشكل مفاجئ من 8.8799 فى أكتوبر 2016 الى 17.865 فى نوفمبر 2016 و تبعه بعد ذلك زيادة فى سعر صرف الدولار امام الجنية الى ان استقر عند قيمة تتراوح بين 15 الى 16 جنية مصري. و نجد أنه من حيث الوسط الحسابى و التباين وذلك للمواسم المختلفة نجد استقرار فى الوسط الحسابى الدورى و استقرار تقريبي فى التباين حيث أن الوسط الحسابى والانحراف المعياري الدورى يقعون داخل حدود الثقة بدرجة ثقة 99%. كما أن شكل السلسلة الزمنية استقر بشكل كبير، و بالتالى تكون الخطوة التالية هي تحديد نموذج PARIMA لبيانات السلسلة.

ولتحديد نموذج PARIMA لبيانات سلسلة الفروق الاولى الشهرية لسعر صرف الدولار امام الجنية يعرض جدول (1) نماذج PARIMA الشهرية الأفضل التي تم اختيارها بالاعتماد على قيم كل من "AIC" و "BIC" و "Negative log likelihood" من بين 17 نموذج تم تقديره باستخدام الرتب p , q , التي تتراوح قيمتها بين 0 الى 4 بالتبادل وذلك عند تثبيت كافة شروط التقدير لكل النماذج.

جدول (1) : قيم كل من AIC و BIC و Negative log likelihood المقدرة لكل نموذج

Model	Negative log likelihood	AIC value	BIC value
PARIMAS(P,I,Q)			
PARIMA <sub>12</sub> (1,1,3)	-5.981207	20.01879	70.64603
PARIMA <sub>12</sub> (3,1,3)	-11.96809	26.03191	99.92059

و بمقارنة قيم معايير المعلومات وقيمة سالب اللوغاريتم الاحتمالي للنماذج الأفضل المختارة، نجد أن النموذج الأفضل هو النموذج الذي يتفوق على باقي النماذج في عدد أكثر من المعايير، حيث أن نموذج PARIMA<sub>12</sub>(1,1,3) يتفوق على باقي النماذج من حيث AIC و BIC.

### 5-1-1- تقدير معالم نموذج PARMA

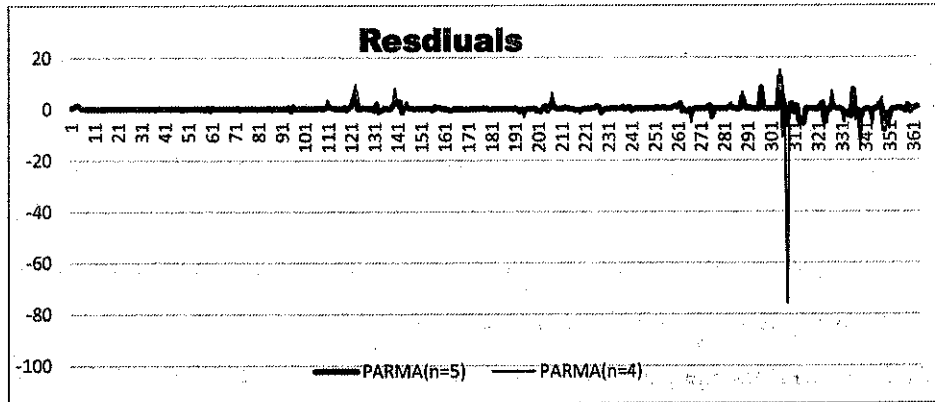
في مرحلة التحديد وقع الاختيار على نموذج الافضل بعد مفاضلته مع كل النماذج المحتمله، ثم تأتي الخطوة التالية وهي تقدير معالم النموذج. ولتقدير المعالم للنموذج المختار يتم استخدام خوارزمية تقدير الامكان الاكبر التقريبية حيث تكون اولى خطوات تلك الخوارزمية هي ايجاد تقديرات اولية للمعالم  $\phi_0, \theta_0$ ، حيث أن  $\hat{\theta}_0 = \bar{\theta}$  و  $\hat{\phi}_0 = \bar{\phi}$  هي تقديرات  $\theta, \phi$  والتي يتم الحصول عن طريق تحويل المعالم  $\hat{\theta}_0 = \bar{\theta}$  و  $\hat{\phi}_0 = \bar{\phi}$  وعرضها في شكل سلسلة فوريير باستخدام تحويلة فوريير المنقطعة DFT وبالتالي يكون التعامل مع معالم فوريير الاولية  $\hat{b}_0 = \bar{b}$  و  $\hat{a}_0 = \bar{a}$ . ثم بعد ذلك وبالاعتماد على معالم فوريير الاولية، يتم استخدام طرق التحسين غير الخطية للحصول على الحد الأدنى لقيمة سالب لوغاريتم دالة الامكان، "minimum of negative logarithm of likelihood function". وذلك باستخدام خوارزمية تقدير الامكان الاكبر التقريبية ولكن بالاعتماد على معاملات فورية الاولية، حيث يتم استخدام طريقة التحسين التكرارية (BFGS) Broyden, Fletcher, Goldfarb, Shanno والتي تعد طريقة تكرارية لحل مشاكل التحسين غير الخطية غير المقيدة (Kelley, 1999). ثم يتم اعادة خطوات الخوارزمية حتى الوصول الى الحل الافضل الذي يحقق تعظيم لدالة الامكان. ولكن يبقى تحديد عدد التوفيقات "Harmonics" التي تجعل النموذج المقترح اقل في عدد المعالم وفي نفس الوقت الأفضل. وعند تحديد عدد التوفيقات n المناسبة فانه يتم عادة استبعاد التوفيقات الاقل من  $\frac{S}{n}$ ، حيث  $\frac{S}{2} = n$  وبالتالي وعند S=12 فانه عادة ما يتم استبعاد التوفيقات عند n=0,1,2 لانها تكون قليلة جدا للتعبير عن المعالم  $\phi$  و  $\theta$ . كما يفضل ان تكون عدد التوفيقات  $\frac{S}{2} \leq n$ ، اي يفضل دراسة جودة النماذج ذات التوفيقات n=3,4,5,6. وبما أن النموذج المختار كان PARIMA<sub>12</sub>(1,1,3) فيمكن تقدير معالمه باستخدام تمثيل أكثر اختزالاً في شكل معالم فوريير "Fourier coefficients" a, b وذلك عند عدد توفيقات n=3,4,5,6

و من ثم اختيار التقدير الذى يحقق أقل عدد و أفضل جودة. ويعرض جدول (2) قيم معايير اختيار النموذج عند عدد توفيقات Harmonics  $n=3, 4, 5, 6$

جدول (2) : قيم  $AIC^{(n)}$  و  $BIC^{(n)}$  لنموذج  $PARIMA_{12}(1,1,3)$

Number of Harmonics (n)	$AIC^{(n)}$	$BIC^{(n)}$	Akaike's Final Prediction Error for estimated model $FPE^{(n)}$
3	20.01879	70.64603	2771.296
4	-41.58301	36.30504	21.78488
5	-82.27875	15.08132	2.414864
6	-93.65123	23.18085	171.7118

بناءً على نتائج جدول (2) يمكن القول أن النموذج عند عدد توفيقات  $n=4, 5$  هما الأفضل بالنظر الى جميع المقاييس. و يعتبر نموذج  $PARIMA_{12}(1,1,3)$  عند  $n=5$  هو الأفضل، وذلك لان له القيم الأقل لجميع المعايير باستثناء معيار  $AIC$ . وبالمقارنة بين بواقي النموذجين عند  $n=4, n=5$  يظهر فى شكل (3) ان سلسلة البواقي عند  $n=5$  هي الاكثر سكوناً ولا يوجد بها قيم متطرفة كالتى تظهر عندما تكون  $n=4$ ، وذلك سيكون من الأفضل تمثيل معالم النموذج  $\phi$  و  $\theta$  باستخدام معالم فورير  $a$  و  $b$  عند عدد توفيقات  $n=5$ . و تظهر تقديرات  $\phi$  و  $\theta$  لنموذج  $PARIMA_{12}(1,1,3)$  فى الجدول (3)، بينما يعرض جدول (4) تقديرات معالم  $b, a$  المختزلة باستخدام تحويلة فورير.



شكل (3): الرسم البياني لسلسلة البواقي لنموذج  $PARIMA_{12}(1,1,3)$  عند عدد توفيقات  $n=4, 5$  لتمثيل فورير لمعالم النموذج.



جدول (3): معالم نموذج  $PARIMA_{12}(1,1,3)$  المقدرة  $\hat{\phi}_i(v), \hat{\theta}_i(v)$

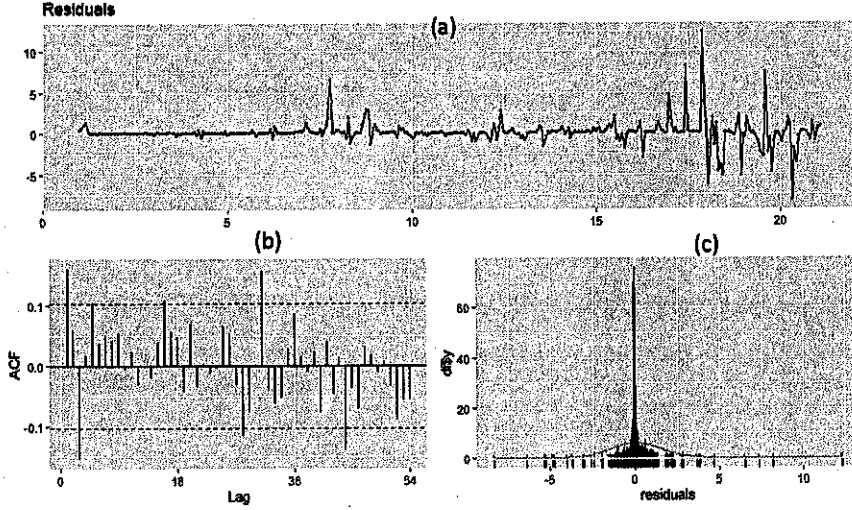
Lag(i) Period(v)	$\hat{\phi}_i(v)$	$\hat{\sigma}(v)$	$\hat{\theta}_i(v)$		
	1		1	2	3
1	1.23974	0.05776	-0.06707	-0.01765	-0.00298
2	0.65768	-0.0428	-0.08215	-0.0224	-0.00615
3	-0.41066	-0.09154	-0.10766	-0.05295	-0.01424
4	-1.1644	0.05588	-0.0948	-0.10276	-0.07231
5	-1.16026	0.39233	0.006785	-0.12114	-0.19125
6	-0.67265	0.72877	0.181715	-0.06417	-0.31846
7	-0.34684	0.8438	0.341168	0.054537	-0.37264
8	-0.51146	0.67421	0.388619	0.165826	-0.31279
9	-0.84909	0.36432	0.299504	0.200886	-0.17571
10	-0.75465	0.12844	0.139655	0.14867	-0.04533
11	-0.01211	0.06214	0.005704	0.060515	0.016937
12	0.90625	0.08432	-0.05461	-0.00097	0.015154

جدول (4): معالم فورير المختزلة المقدرة a, b لنموذج  $PARIMA_{12}(1,1,3)$

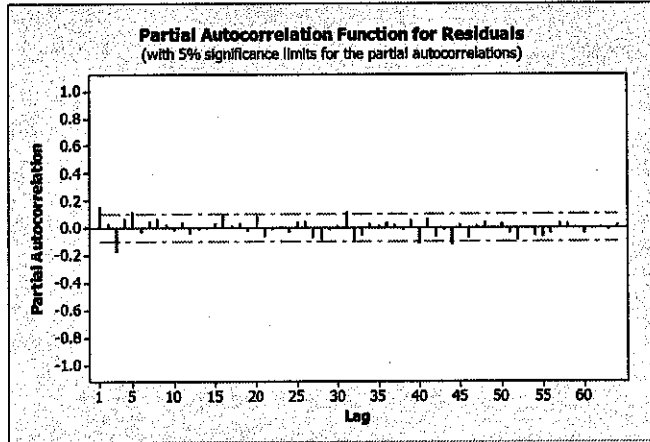
Lag(i) Harmonics	$a_i(v)$	$b_0(v)$	$b_i(v)$		
	1		1	2	3
1	-0.25654	0.27147	0.079738	0.020701	-0.12331
2	0.79329	-0.39302	-0.20412	-0.03609	0.184827
3	-0.20488	-0.03628	-0.11723	-0.12571	-0.01349
4	0.70299	0.17931	0.057309	-0.00226	-0.0645
5	-0.02522	-0.05245	0.051776	0.060206	-0.00451

### 5-1-2- فحص ملائمة نموذج $PARIMA_{12}(1,1,3)$ الشهري

كما قد توصلنا في مرحلة التقدير الى أنه يكون من الافضل تمثيل معالم النموذج  $PARIMA_{12}(1,1,3)$ ،  $\phi$  و  $\theta$ ، باستخدام معالم فورير a و b المختزلة باستخدام عدد  $n=5$  من التوفيقات. وبالتالي سيتم فحص بواقي ذلك النموذج. حيث يتم فحص دالة الارتباط الذاتي والارتباط الذاتي الجزئي للبواقي للتأكد من أن البواقي عبارة عن تغيرات عشوائية و ان الارتباطات الذاتية للبواقي مستقلة و تتوزع توزيع طبيعي وكذلك المدرج التكراري للبواقي للتأكد من انها تتبع التوزيع الطبيعي.



شكل (4): تحليل سلسلة البواقي لنموذج  $PARIMA_{12}(1,1,3)$  المقدر حيث الشكل (a) يمثل سلسلة البواقي، الشكل (b) يمثل دالة ACF لسلسلة البواقي، الشكل (c) يمثل المدرج والمنحنى التكراري لسلسلة البواقي.



شكل (5): دالة الارتباط الذاتي الجزئي لسلسلة البواقي لنموذج  $PARIMA_{12}(1,1,3)$  و نلاحظ من شكل (4) و (5) أن سلسلة البواقي مستقرة تقريبا و لكن ليس بشكل جيد حيث ان هناك تقلبات عالية و منخفضة في نهاية السلسلة ناتجة عن تحريك سعر صرف الجنية امام الدولار، كما نلاحظ من الرسم البياني للمدرج و المنحنى التكراري للبواقي شكل (4,c) أنها تتبع التوزيع الطبيعي تقريبا الا انها يوجد بها انحراف و تقرب، و و بفحص دالة ACF للبواقي شكل (4,b) ودالة PACF للبواقي شكل (5) نجد أن الارتباط الذاتي للبواقي و الارتباط الذاتي الجزئي لاغلب الفجوات الزمنية lags يقع

داخل حدود الثقة مما يدل على أن البواقى عبارة عن تغيرات عشوائية و أن الارتباطات الذاتية للبواقى تكون مستقلة وتتبع التوزيع الطبيعي بشكل تقريبي.

#### 5-2- تقدير نموذج GARCH الدورى المختلط لبواقى نموذج $PAIMA_{12}(1,1,3)$ المقدر.

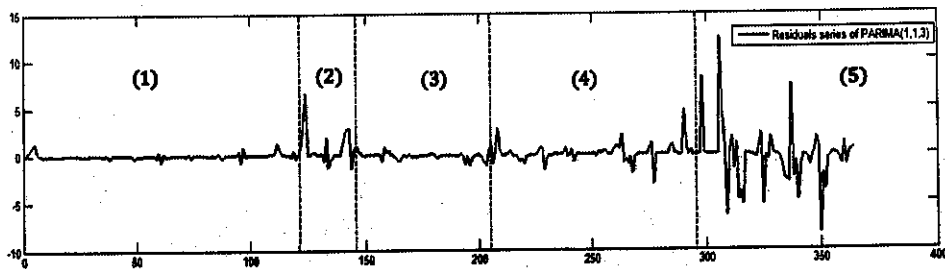
بالنظر الى سلسلة البواقى لنموذج  $PAIMA_{12}(1,1,3)$  المقدر نجد أنها مازالت غير ساكنة حيث نلاحظ وجود تقلبات دورية وكذلك عند فحص دالة ACF و PACF للبواقى نلاحظ خروج بعض القيم عن حدود الثقة عند بعض فترات الازاحة (lags). ولدراسة تلك التقلبات و زيادة دقة النموذج المقترح سيتم فى هذا الجزء دراسة البواقى باستخدام نموذج M-PGARCH وتقدير معالمه لدراسة بواقى نموذج PARMA وتقديرها، و بالتالى يكون الناتج فى النهاية هو تقدير لنموذج PARMA مع نموذج M-PGARCH.

#### 5-2-1- تحديد نموذج M-PGARCH باستخدام سلسلة البواقى لنموذج

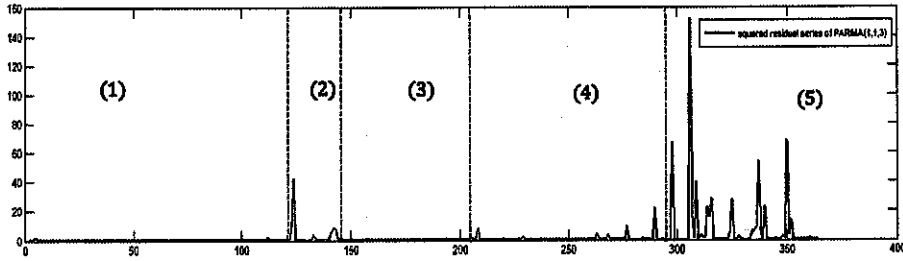
#### $PARIMA_{12}(1,1,3)$ الشهرى

لتحديد قيمة الخليط K المناسب لسلسلة البواقى و بفحص الرسم البيانى لهذه السلسلة يتضح من الشكل (6) وجود ظاهرة التقلب العنقودية "the volatility clustering phenomenon" ويتضح بشكل واضح من خلال الرسم البيانى لسلسلة البواقى و كذلك لمربع سلسلة البواقى ان هناك بعض الانقطاعات، حيث يكون هناك تقلبات منخفضة "low volatility" فى الجزء (1) و (3) فى الشكل (6)، بينما تكون هناك تقلبات متوسطة فى الجزء (2) و (4) و فى نهاية السلسلة فى الجزء (5) نلاحظ وجود تقلبات مرتفعة حيث تم فى نوفمبر 2016 تحرير سعر صرف الجنية مقابل الدولار الاميركى مما ادى الى تقلبات مرتفعة فى سعر صرف الجنية مقابل الدولار بلغ ذروته فى تلك الفترة.

(a)



(b)



شكل (6): يمثل (a) سلسلة البواقي لنموذج  $PARIMA_{12}(1,1,3)$  الشهري بينما يمثل (b): مربع

سلسلة البواقي لنموذج  $PAIMA_{12}(1,1,3)$

وبحساب المقاييس الوصفية لسلسلة البواقي لنموذج  $PARIMA_{12}(1,1,3)$  وكذلك لكل سلسلة شهرية على حدي وبالنظر الى نتائج الالتواء نجد أن سلسلة البواقي الكاملة لها التواء موجب (ناحية اليمين) ولكن عند قياس الالتواء لكل سلسلة شهرية نجد أن هناك التواء سالب لشهر يونيو ويوليو ويناير وأبريل بينما يكون موجب لباقى شهور السنة. كما تُظهر النتائج أن مقياس التفرطح لكامل السلسلة وكذلك للشهور جميعها أكبر بكثير من 3 فيما عدا شهر ديسمبر و مارس و أبريل يكون التفرطح اقل من 3 وهذا يعكس حقيقة أن ذيول توزيعات البواقي أكثر سمكاً من التوزيع الطبيعي وهذا أمر عادة ما يتم ملاحظته في السلاسل الزمنية المالية لاسعار الصرف خاصة للعملات الناشئة في الدول النامية.

وقد تم اقتراح العديد من النماذج الدورية التي تسمح بوصف التقلبات الموسمية في السلسلة وذلك عند  $S=12$  ورتب  $p, q$  تتراوح قيمهما بين 1 الى 3. كما أنه من الشكل (6) يمكن القول أن قيمة  $K$  والذي يمثل عدد مكونات الخليط تكون  $K=2$  او  $K=3$  بعد أقصى. وتتمثل احدى المشكلات الرئيسية في تحليل نماذج الخليط في تحديد عدد المكونات  $K$  وكذلك رتب النموذج الأفضل، وبالتالي فبالإضافة الى الاعتماد على تحليل الرسم البياني للسلسلة المستهدفة فان استخدام معيار المعلومات  $BIC$  و  $AIC$  للمفاضلة بين النماذج المقترحة يكون أكثر موثوقية. ويعرض جدول (5) النماذج الأفضل التي قد تم اختيارها.

جدول (5) يعرض النماذج المقترحة بالتطبيق على سلسلة البواقي لنموذج  $PARIMA_{12}(3,1,1)$

الشهري

$M$	Model	AIC	BIC
	$-PGARCH_S(K; p_1, p_2, \dots, p_K; q_1, q_2, \dots, q_K)$		
	$M-PGARCH_{12}(2;1,1,1,1)$	554.99	838.88
	$M-PGARCH_{12}(3;1,1,1,1,1)$	666.365	1094.141

و من النتائج السابقة فى جدول (5) نجد أن افضل نموذجين يمكن دراستهم و المفاضلة بينهم هما نموذج  $M-PARCH_{12}(2;1,1;1,1)$  و نموذج  $M-PGARCH_{12}(3;1,1,1,1)$  و بالتالى يمكن ملاحظة أن الافضلية عندما  $K=2$  وهذا يعنى ان النموذج قد اظهر نوعين مختلفين من التقلبات لسلسلة البواقي ويظهر ذلك بشكل واضح فى الرسم البيانى لمربع البواقي فى الشكل (6- b). وفى الخطوة التالية سيتم تقدير معالم نموذج  $M-PGARCH_{12}(2;1,1;1,1)$  و نموذج  $M-PGARCH_{12}(3;1,1,1,1,1)$  و المفاضلة بينهم للتوصل للنموذج الافضل الذى يصف بواقي نموذج  $PARIMA$  الشهيرى.

**5-2-2 - تقدير معالم نموذج  $M-PGARCH$  لبواقي نموذج  $PARIMA_{12}(1,1,3)$  الشهيرى**  
يتم فى هذه المرحلة تقدير معالم النموذج المقترح بالاعتماد على خوارزمية Expectation Maximization لتقدير الامكان الاكبر "ML" لمعالم النموذج المستهدف، وقد تم اختيار افضل النماذج المقترحة فى مرحلة التحديد وذلك لتقدير معالمهم و فحص ايهم الافضل. وفيما يلى نعرض تقدير المعالم لكل نموذج من النماذج المقترحة. تعرض الجداول التالية تقدير المعالم وكذلك نتائج شرط السكون الدورى. حيث يعرض الجدول (6) تقديرات المعالم لنموذج  $M-PGARCH_{12}(2;1,1;1,1)$  حيث نجد أن النموذج قد السقط نوعين مختلفين من التقلبات لسلسلة البواقي، تقلب منخفض يحدث بنسبة  $\lambda_2 = 56.632\%$  و تقلب أعلى يحدث بنسبة  $\lambda_1 = 43.368\%$ . كما نجد ان المعالم المقدره لكل مكون  $k$  تحقق شرط السكون الدورى، حيث أن قيمة  $\prod_{v=1}^S (\alpha_{v,1}^{(1)} + \alpha_{v,1}^{(1)}) = 1.1333e - 07$  وهو أقل من الواحد الصحيح وكذلك عند  $k=2$  نجد أن  $\prod_{v=1}^S (\alpha_{v,1}^{(2)} + \alpha_{v,1}^{(2)}) = 1.4909e - 10$  وهو ايضا أقل من الوحدة، بينما نجد أن معالم النموذج المقدر لكل تكون لها سكون دورى ضعيف و يظهر ذلك بالنظر لقيمة  $\varphi$  حيث أن شرط سكون سلسلة  $M-PGARCH$  يكون كالتالى:

$$\varphi = \prod_{v=0}^{S-1} \left( \sum_{k=1}^K \lambda_k (\alpha_{v,1}^{(k)} + \beta_{v,1}^{(k)}) \right) < 1$$

حيث تشير  $\varphi$  إلى أن قيمة  $\varphi$  ستصبح  $\varphi$   $\leq 1$  بينما نجد أن  $\varphi = 1.6148e - 08 < 1$  للنموذج ككل أقل من الوحدة، هذا بالإضافة الى أن مستوى الاستقرار الدورى عند  $k=1, 2$  متقارب. كما نلاحظ من تحليل النموذج المقدر لكل موسم على حدى أن النموذج المقابل للمواسم  $v = 5, 6, 8$  أى الخاص بشهر مايو ويونيو واغسطس يكون غير

ساكن دورياً ويتضح ذلك من قيمة  $\sum_{v=1}^S \lambda_k (\alpha_{v,1}^{(k)} + \alpha_{v,1}^{(k)})$  لكل الموسم و التي نجدها أقل من الواحد فيما عدا عند  $v = 5, 6, 8$  فانها تكون أكبر من الواحد. وبالنسبة للمواسم الثلاث التي تكون فيها السلسلة غير ساكنة دورياً  $v = 5, 6, 8$  نلاحظ أن هناك وزن أكبر للمعلمة  $\alpha_{v,1}^{(k)}$  و للمعلمة  $\beta_{v,1}^{(k)}$  من تلك المعالم فى الموسم الساكنة دورياً، ويعود ذلك بشكل كبير الى تحرير سعر صرف الجنية امام الدولار فى عام 2016م و الذى أدى الى انحرافات كبيرة فى سعر الصرف ظهرت بشكل واضح خلال بعض الفترات الدورية الشهرية وحتى بعد أخذ الفروق للسلسلة.

جدول (6): تقدير معالم نموذج M-PGARCH<sub>12</sub>(2;1,1;1,1) ليواقي نموذج PARIMA<sub>12</sub>(1,1,3) الشهري

	K=1			K=2			$\sum_{v=1}^S \lambda_k (\alpha_{v,1}^{(k)} + \alpha_{v,1}^{(k)})$
$\lambda_k$	0.433681			0.566319			
period	$\alpha_{v,0}^{(k)}$	$\alpha_{v,1}^{(k)}$	$\beta_{v,1}^{(k)}$	$\alpha_{v,0}^{(k)}$	$\alpha_{v,1}^{(k)}$	$\beta_{v,1}^{(k)}$	
v = 6	1.212576	26.43128	0.595072	0.000807	2.135956	0.600461	13.27049
v = 7	4.672325	1.57E-13	0.054984	0.005229	8.37E-14	0.055547	0.055303
v = 8	3.241246	1.178532	0.24592	0.01313	0.54341	0.254835	1.069819
v = 9	0.006758	0.189041	6.43E-15	1.101492	0.287101	6.50E-15	0.244575
v = 10	0.04643	2.56E-13	0.057225	4.955133	2.94E-13	0.057812	0.057557
v = 11	0.029821	5.19E-14	0.056619	4.86898	5.70E-14	0.05754	0.057141
v = 12	0.02105	8.43E-15	0.05707	0.600214	5.35E-15	0.058562	0.057915
v = 1	3.050213	1.65E-12	0.058296	0.022518	3.91E-13	0.055538	0.056734
v = 2	0.073935	1.88E-13	0.052625	0.004228	1.04E-13	0.057108	0.055164
v = 3	0.004037	1.52E-13	0.049689	44.93644	2.31E-13	0.063635	0.057587
v = 4	0.094838	1.846749	1.06E-14	8.05E-05	0.236856	1.05E-14	0.935036
v = 5	0.45115	5.440596	2.03E-16	0.000171	0.459561	2.04E-16	2.61974
$\prod_{v=1}^S (\alpha_{v,1}^{(k)} + \alpha_{v,1}^{(k)})$	1.1333e-07			1.4909e-10			
$\varphi$	1.6148e-08						
Log Likelihood	-127.1197						
	Number of observations outside the limits						14

جدول (7): تقدير معالم نموذج M-PGARCH<sub>12</sub>(3;1,1,1;1,1,1) ليوالي نموذج PARIMA<sub>12</sub>(1,1,3) الشهري

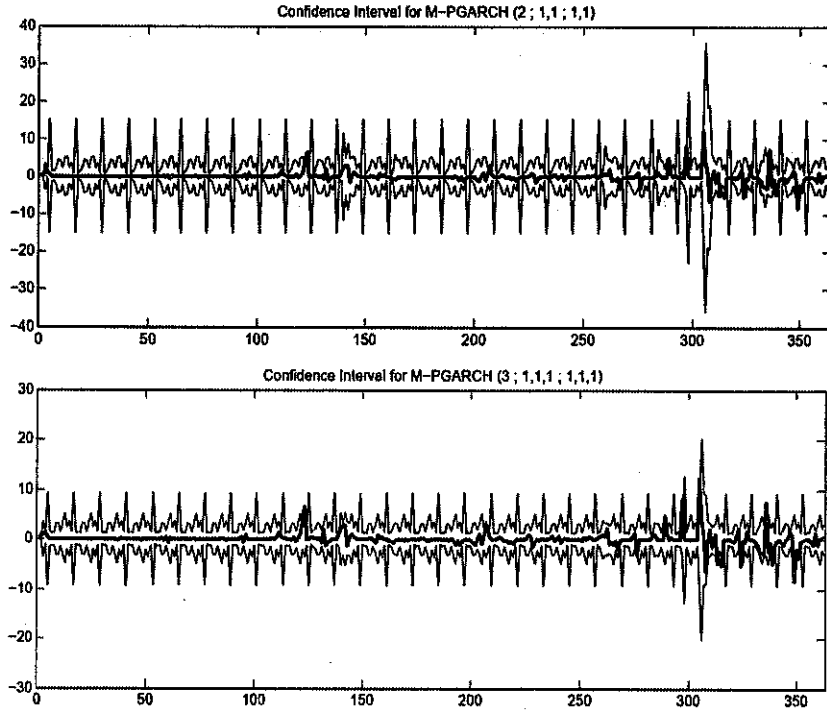
	k = 1			k = 2			k = 3			$\sum_{v=1}^s \lambda_k (\alpha_{v,1}^{(k)} + \beta_{v,1}^{(k)})$
$\lambda_k$	0.405594			0.055253			0.539153			
period	$\alpha_{v,0}^{(k)}$	$\alpha_{v,1}^{(k)}$	$\beta_{v,1}^{(k)}$	$\alpha_{v,0}^{(k)}$	$\alpha_{v,1}^{(k)}$	$\beta_{v,1}^{(k)}$	$\alpha_{v,0}^{(k)}$	$\alpha_{v,1}^{(k)}$	$\beta_{v,1}^{(k)}$	
v = 6	0.143634	3.552861	0.597098	0.163721	4.303427	0.597502	0.001274	1.452814	0.529124	3.022557
v = 7	0.485156	6.35E-14	0.054375	15.74464	4.59E-14	0.054729	0.006216	3.27E-14	0.054401	0.054409
v = 8	1.206041	0.167353	0.248155	4.333443	0.196766	0.248378	0.028979	0.322232	0.246925	0.499985
v = 9	0.007354	0.064321	6.38E-15	0.06749	0.073917	6.40E-15	0.5125	0.186858	6.42E-15	0.130917
v = 10	0.716331	6.23E-14	0.056955	13.84749	4.61E-14	0.056806	0.110691	7.74E-14	0.056547	0.056727
v = 11	0.086236	2.28E-14	0.056451	0.429997	2.28E-14	0.056464	4.75168	1.94E-14	0.056508	0.056483
v = 12	0.023288	1.81E-15	0.056357	0.084627	1.49E-15	0.056508	0.763703	1.60E-15	0.056559	0.056474
v = 1	3.118997	1.94E-13	0.057441	1.288759	1.87E-13	0.051855	0.059737	1.34E-13	0.057241	0.057025
v = 2	0.136313	5.72E-14	0.056762	1.747001	7.92E-14	0.057005	0.015388	2.16E-14	0.056011	0.056371
v = 3	0.012054	6.61E-14	0.061	0.335009	8.15E-14	0.062053	17.68471	4.97E-14	0.061986	0.06159
v = 4	0.370198	0.474384	1.03E-14	0.359869	0.416532	1.04E-14	0.000193	0.154217	1.04E-14	0.298568
v = 5	0.315342	0.966549	1.98E-16	1.493956	1.011936	1.99E-16	0.000313	0.32001	1.99E-16	0.620473
$\prod_{v=1}^s (\alpha_{v,1}^{(k)} + \beta_{v,1}^{(k)})$	9.9653e-11			1.2368e-10			2.0325e-11			
$\varphi$				7.1440e-11						
Log Likelihood				-34.338						
				Number of observations outside the limits						16



و بالنظر الى نتائج جدول (7) نجد أن نموذج  $M-PGARCH_{12}(3;1,1,1;1,1,1)$  المقدر مكون من ثلاث نماذج  $PGARCH(1,1)$  عند  $k = 1, 2, 3$ . حيث نجد ان المكون  $k$  ذو اعلى معلمة خلط "mixing parameter" يكون عند  $k=3$  بمعلمه خلط  $\lambda_3 = 0.53915$  ويكون له تقلبات منخفضة طويلة المدى. بينما المكونين الاخرين عند  $k=1$  و  $k=2$  يكون لهم معامل خلط  $\lambda_1 = 0.05525$  و  $\lambda_2 = 0.40559$  ويكون لهم تقلبات طويلة المدى أعلى من التقلبات عند  $k=3$  حيث أن قيمة  $\prod_{v=1}^S (\alpha_{v,1}^{(k)} + \beta_{v,1}^{(k)})$  عند  $k=1, 2, 3$  و التي تعد شرط السكون لكل مكون  $k$ , تكون  $1.2368e-10, 9.9653e-11, 2.0325e-11$  على الترتيب، و بفحص قيم  $\prod_{v=1}^S (\alpha_{v,1}^{(k)} + \beta_{v,1}^{(k)})$  نجد أن التقلبات للثلاث مكونات متقاربة. ونلاحظ أن معالم النموذج المقدر  $M-PGARCH_{12}(3;1,1,1;1,1,1)$  لها سكون دورى ضعيف ويظهر ذلك بالنظر لقيمة  $\varphi$  والتي تكون  $\varphi = 1$ ، لها سكون دورى ضعيف ويظهر ذلك بالنظر لقيمة  $\varphi$  والتي تكون  $\varphi = 1$  حيث نجد أن  $\prod_{v=0}^{S-1} (\sum_{k=1}^K \lambda_k (\alpha_{v,1}^{(k)} + \beta_{v,1}^{(k)})) < 1$  لهذا النموذج. وعند تحليل النموذج المقدر لكل موسم من المواسم نجد أن فقط النموذج المقابل للموسم  $v = 6$  أى الخاص بشهر يونيو يكون غير ساكن دورى حيث أن قيمة  $\sum_{v=1}^S \lambda_k (\alpha_{v,1}^{(k)} + \alpha_{v,1}^{(k)})$  لكل المواسم أقل من الواحد فيما عدا عند  $v = 6$  تكون أكبر من الواحد على عكس نموذج  $M-PGARCH_{12}(2;1,1,1;1,1,1)$  الذى يوجد به عدم سكون عند ثلاث مواسم دورية.

وبالنظر لما تقدم من تحليل للنموذجين نجد أن قيمة Log-Likelihood لنموذج M- $PGARCH_{12}(3;1,1,1;1,1,1)$  وهى -34.338 أكبر من قيمة Log-Likelihood لنموذج M- $PGARCH_{12}(2;1,1,1;1,1,1)$  والتي تساوى -127.1197، كما نجد أن النموذجين ككل ساكنين دوريا وعند كل مكون  $k$  نجد ان هناك سكون دورى الا أنه عندى فحص السكون الدورى لكل موسم من المواسم لكل نموذج يتضح ان نموذج  $M-PGARCH_{12}(3;1,1,1;1,1,1)$  هو الافضل حيث يكون فقط النموذج عند الموسم  $v = 6$  غير ساكن بينما يكون ساكن فى باقى المواسم الدورية الشهرية على عكس نموذج  $M-PGARCH_{12}(2;1,1,1;1,1,1)$  الذى يتواجد به عدم سكون دورى عند ثلاث مواسم دورى هم  $v = 5, 6, 8$ . ويعرض شكل (7) فترة الثقة للبوأى  $\hat{h}_t \pm 3\sqrt{\hat{h}_t}$ ، حيث أن  $\bar{y}$  هى الوسط الحسابى لسلسلة البوأى كما أن  $\hat{h}_t$  تعبر عن التقلبات (التذبذبات) المقدره "estimated volatility" حيث أن  $\sqrt{\hat{h}_t} = \sqrt{E(y_t^2 | \mathcal{F}_{t-1}, \underline{\theta} = \underline{\theta})} = \sqrt{\sum_{k=1}^K \lambda_k \hat{h}_t^{(k)}}$  ويفحص شكل (7) نجد أن عدد المشاهدات التى تقع خارج حدود الثقة لكلا النموذجين متقارب جدا حيث يكون هناك 14 مشاهدة خارج

حدود الثقة لنموذج  $M-PGARCH_{12}(2;1,1;1,1)$  بينما يكون هناك 16 مشاهدة خارج حدود الثقة لنموذج  $M-PGARCH_{12}(3;1,1,1;1,1,1)$ . وبالتالي وبناء على ما تقدم من تحليل يمكن القول ان نموذج  $M-PGARCH_{12}(3;1,1,1;1,1,1)$  هو الافضل و الاكثر تعبيراً عن البيانات.



شكل (7): يعرض فترة الثقة لبيانات سلسلة البواقي بالاعتماد على نماذج  $M\_PGARCH$  المقترحة.

## النتائج Conclusions

تتأول البحث أحد أهم نماذج السلاسل الزمنية الخطية الشائع استخدامها مع البيانات الموسمية ذات الطابع الدوري وهي نماذج  $PARMA$ . حيث تم دراسة خصائص النموذج وتقدير معالمه واختيار النموذج الافضل من بين البدائل المتاحة بالتطبيق على بيانات سعر صرف الجنية المصري أمام الدولار الأمريكي حيث يعد سعر الصرف أحد أهم الأدوات المالية المؤثرة على الاقتصاد المصري. ولحل مشكلة عدد المعالم الكبير التي تظهر في مرحلة التقدير تم استخدام تمثيل فوريير لمعالم نموذج  $PARMA$  عن طريق تحويله فوريير المتقطعة  $DFT$  والتي من خلالها استطعنا خفض عدد المعالم المقدر من 60 معلمة

الى 25 معلمة فقط. و نتيجة لان سلسلة البواقي لنموذج  $PARMA_{12}(1,1,3)$  المقدر لم تكن ساكنة بل كان بها تقلبات وتباينات يجب دراستها اقترحت الدراسة استخدام فئة من النماذج غير الخطية للسلاسل الزمنية الدورية وهي نماذج GARCH الدورية المختلط " M-PGARCH ". حيث تسمح نماذج M-PGARCH بالنقاط النمط الدوري و التغير المفاجئ و التباينات المتغيرة للبواقي بالإضافة الى شكل التوزيعات الشرطية والتي تظهر بشكل دائم مع السلاسل الزمنية المالية والاقتصادية. حيث تم دراسة الخصائص الاحتمالية لهذه الفئة من النماذج و كذلك طريقة التقدير. وأشارت النتائج الى أن نموذج M-PGARCH قادر على التقاط ظاهرة التغيرات المفاجئة في التقلبات بشكل جيد للغاية وبشكل أكثر مرونة وأكثر اختزالاً "parsimonious" حيث ان هناك الكثير من المعالم المقدرة تؤول قيمتها الى الصفر. وبالمقارنة بين استخدام نموذج PARMA فقط لوصف البيانات وبين استخدام نموذج PARMA مع نموذج M-PGARCH نلاحظ أن نموذج PARMA كان ينقصه الوصف الدقيق للتغيرات الدورية في البواقي والتي لم تكن ساكنة هذا بالإضافة الى الالتواء والتفرطح الذي ظهر عند حساب المقاييس الوصفية لها. ان استخدام نموذج  $M-PGARCH_{12}(3;1,1,1;1,1,1)$  مع نموذج  $PARMA_{12}(1,1,3)$  قد ساعد في وصف الخليط الدوري لتلك التقلبات بشكل دقيق و اظهار مواضع عدم السكون في السلسلة التي أدت الى تلك التقلبات وذلك من خلال قدرته على اظهار السكون الدوري لكل عنصر من عناصر الخليط الدوري بالإضافة الى دراسة السكون لكل موسم من المواسم على التوازي مما يمكننا من تفسير تلك التقلبات في البواقي بشكل واضح ودقيق. ويوصى الباحث بتطوير نسخة دورية متعددة المتغيرات من هذا النموذج من أجل الاخذ في الاعتبار المتغيرات الاخرى والتي يكون لها تأثير كبير على الاقتصاد.

## المراجع

- Abdallah, M. (2013) Generation of PAR Time Series Models Using Periodic Levinson-Durbin Algorithm. (MSc). The Islamic University of Gaza.
- Abo-Hammour, Z. Al-Smadi, O. Al-Smadi, A. M. Zaqout, M. and Saraireh, M. (2012) ARMA Model Order and Parameter Estimation using Genetic Algorithms. *Mathematical and Computer Modeling of Dynamical Systems*. 18(2), 201–221.
- Akgün, B. (2003) Identification of Periodic Autoregressive Moving Average Models. (MSc). Middle East Technical University.
- Anderson, P. L. and Meerschaert, M. M. (1998) Modelling river flows with heavy tails. *Water Resources Research*. 34(9), 2271–80.
- Anderson, P. L., Tesfaye, Y. G., & Meerschaert, M. M. (2007). Fourier-PARMA Models and Their Application to River Flows. *Journal of Hydrologic Engineering*, 12(5), 462–472. [https://doi.org/10.1061/\(asce\)1084-0699\(2007\)12:5\(462\)](https://doi.org/10.1061/(asce)1084-0699(2007)12:5(462))
- Anderson, P. Meerschaert, M. and Zhang, K. (2013) Forecasting with prediction intervals for periodic autoregressive moving average models. *Journal of Time Series Analysis*. 34, 187-193.
- Ansley, C.F. (1979), An algorithm for the exact likelihood of a mixed autoregressive-moving average process. *Biometrika* 66(1), 59–65.
- Basawa, I. and Lund, R. (2001) Large sample properties of parameter estimates for periodic ARMA models. *Journal of Time Series Analysis* 22, 651–63.
- Bentarzi M, Hamdi F (2008a) Mixture periodic autoregressive conditional heteroskedastic models. *Comput Stat Data Anal* 53:1–16
- Bentarzi M, Hamdi F (2008b) Mixture periodic autoregression with periodic ARCH errors. *Adv Appl Stat* 8:219–246
- Bentarzi, M., & Hamdi, F. (2008). Mixture periodic autoregressive conditional heteroskedastic models. *Computational Statistics and Data Analysis*, 53(1), 1–16. <https://doi.org/10.1016/j.csda.2008.06.019>
- Bowers, M. C. Tung, W. W. and Gao, J. B. (2012) On the distributions of seasonal river flows: lognormal or power law?. *Water Resources Research*. 48, W05536
- Dudek, A. E., Hurd, H., & Wójtowicz, W. (2016). Periodic autoregressive moving average methods based on Fourier representation of periodic

- coefficients. *Wiley Interdisciplinary Reviews: Computational Statistics*, 8(3), 130–149. <https://doi.org/10.1002/wics.1380>
- Fan, P. ying, Wu, S. xin, Zhao, Z. long, & Chen, M. (2017). M-estimation for periodic GARCH model with high-frequency data. *Acta Mathematicae Applicatae Sinica*, 33(3), 717–730. <https://doi.org/10.1007/s10255-017-0694-x>
  - Ferwana, A. (2011). *Periodically Correlated Time Series Models: Representation and Identification*. September.(PhD). The Islamic University of Gaza.
  - Francq, C. Roy, R. and Saidi, A. (2011) Asymptotic Properties of Weighted Least Squares Estimation in Weak PARMA Models. *Journal of Time Series Analysis*.
  - Franses, P. and Paap, R. (2004) *Periodic Time Series Models*. New York: Oxford University Press.
  - Gladyshev, E. G. (1961) Periodically correlated random sequences. *Soviet Mathematics* 2, 385–88.
  - Hamdi, F., & Souam, S. (2013). Mixture periodic GARCH models: Applications to exchange rate modeling. 2013 5th International Conference on Modeling, Simulation and Applied Optimization, ICMSAO 2013, November 2015. <https://doi.org/10.1109/ICMSAO.2013.6552570>
  - Hamdi, F., & Souam, S. (2017). Mixture periodic GARCH models: theory and applications. *Empirical Economics*, 55(4), 1925–1956. <https://doi.org/10.1007/s00181-017-1348-9>
  - Hamilton, J. (1994) *Time Series Analysis*. Princeton University Press, NJ.
  - Hillmer, S and Tiao, G (1979) Likelihood function of stationary multiple autoregressive-moving average models, *Journal of the American Statistical Association* 74 (3) 652–660.
  - Hipel, K. and McLeod, A. (1994) *Time Series Modelling of Water Resources and Environmental Systems*. London; Amsterdam: Elsevier.
  - Jones, R. H. and Brelsford, W. M. (1967) Times series with periodic structure. *Biometrika* 54, 403–8.
  - Jose´ ,A , Sarnaglia,Q , Reisen, V , Bondon,P and Leduc,C. (2021) M-regression spectral estimator for periodic ARMA models. An empirical investigation. *Stochastic Environmental Research and Risk Assessment* 35:653–664

- Lund, R. and Basawa, I. (2000) Recursive prediction and likelihood evaluation for periodic ARMA models. *Journal of Time Series Analysis* 21, 75–93.
- Lund, R. Shao, Q. and Basawa, I. V. (2006) Parsimonious periodic time series modeling. *Australian & New Zealand Journal of Statistics* 48, 33–47.
- McLeod, A. (1994) Diagnostic checking periodic autoregression models with applications. *Journal of Time Series Analysis* 15, 221–33.
- Sarnaglia, A., Reisen, V. and Bondon, P.(2021) M-regression spectral estimator for periodic ARMA models. An empirical investigation. *Stochastic Environmental Research and Risk Assessment*.
- Shao, Q. (2006). Mixture periodic autoregressive time series models. *Statistics and Probability Letters*, 76(6), 609–618. <https://doi.org/10.1016/j.spl.2005.09.015>
- Tesfay, G. (2005) *Seasonal Time Series Models and Their Application to the Modeling of River Flows*. (PhD). Reno: University of Nevada.
- Tesfaye, Y. Anderson, P. and Meerschaert, M. (2010) Asymptotic results for Fourier- PARMA time series. *Journal of Time Series Analysis*. 32, 157-174.
- Troutman, B. (1979) Some results in periodic auto regression. *Biometrika* 66, 219–28.
- Ursu, E. and Turkman, K. (2012) Periodic Autoregressive Model Identification using Genetic Algorithms. *J. Time Ser. Anal.* 33, 398–405.
- Vecchia, A.V., 1985a. Periodic autoregressive-moving average (PARMA) modeling with applications to water resources. *Water Resour. Bull.* 21, 721–730.
- Vecchia, A.V., 1985b. Maximum likelihood estimation for periodic autoregressive moving average models. *Technometrics* 27, 375–384.